

МИКРОСХЕМЫ ИНТЕГРАЛЬНЫЕ

57IXL1, 57IXL2

ТЕХНИЧЕСКИЕ УСЛОВИЯ

БКО.347.155-01 ТУ

Взамен БКО.347.155-01 ТУ ред. I-79

выписка

Настоящие технические условия (ТУ) распространяются на микросхемы интегральные 571ХЛ1, 571ХЛ2 (далее микросхемы), предназначенные для построения узлов и блоков ЦВМ и радиоэлектронной аппаратуры специального назначения.

Микросхемы, поставляемые по настоящим ТУ, должны соответствовать требованиям БК0.347.155 ТУ и требованиям, установленным в настоящих ТУ исполнения.

1 ОБЩИЕ ПОЛОЖЕНИЯ

1.1 Связь с другими нормативными документами

1.1.1 Перечень ссылочных нормативных документов приведен в разделе 7.

1.2 Терминология

1.2.1 Термины, определения и буквенные обозначения электрических параметров, не установленные действующими стандартами, приведены в базовых ТУ.

1.3 Классификация. Условные обозначения

1.3.1 Пример обозначения микросхем при заказе:

Микросхема 571ХЛ1 БК0.347.155-01 ТУ 4112.16-2 или 4112.16-2Н, или 4112.16-2.01.

Пример обозначения микросхем при заказе по ГОСТ 20.39.405:

Микросхема 571ХЛ1 БК0.347.155-01 ТУ, А 4112.16-2 или 4112.16-2Н, или 4112.16-2.01.

Пример обозначения микросхем в конструкторской документации:

Микросхема 571ХЛ1 БК0.347.155-01 ТУ

2. ТЕХНИЧЕСКИЕ ТРЕБОВАНИЯ

2.1. Требования к конструкции

2.1.1. Первый вывод микросхем обозначен металлизированной площадкой.

2.2. Требования к электрическим параметрам и режимам эксплуатации

2.2.1. Электрические параметры микросхем при приемке и поставке приведены в табл. I.

2.2.2. Электрические параметры микросхем в течение минимальной наработки в пределах времени, равного сроку сохраняемости, должны соответствовать нормам, приведенным в табл. I.

2.2.3. Электрические параметры микросхем в течение срока сохраняемости должны соответствовать нормам, приведенным в табл. I.

2.2.4. Электрические параметры микросхем в диапазоне рабочих температур в процессе и после воздействия специальных факторов должны соответствовать нормам, приведенным в табл. I для крайних значений температуры среды.

2.2.5. Предельное значение температуры перехода (кристалла) 150 °C.

Тепловое сопротивление переход - среда 125 °C/Bт.

Таблица I

Наименование параметра, единица измерения, режим измерения	Буквенное обозначение	Норма				Temperatura, °C	
		57IXL1		57IXL2			
		не менее	не бо- лее	не менее	не бо- лее		
I. Выходное напряжение низкого уровня, В $(U_I, \text{инф} = 2,0 \text{ В}$ $U_{CC} = 4,5 \text{ В}$ $I_{OL} = 10 \text{ мА})$	U_{DL}	-	0,4 0,32 0,4	-	0,4 0,32 0,4	-60±3 25±10 125±5	
2. Выходное напряжение высокого уровня, В $(U_I, \text{инф} = 0,7 \text{ В},$ $U_{CC} = 4,5 \text{ В}, I_{OH} = 2 \text{ мА}$ при температуре минус 60°C +25°C $I_{OH} = 3 \text{ мА}$ при темпера- туре + 125 °C)	U_{OH}	2,4 2,6 2,4	- - -	2,4 2,6 2,4	- - -	-60±3 25±10 125±5	
3. Прямое падение напряжения на антизвоновых диодах, В / $I_D = 12 \text{ мА}$ / ** - параметр неэксплуатационный	U_{CDI}^{**}	- - -	1,5 1,3 1,5	- - -	1,5 1,3 1,5	-60±3 25±10 125±5	
4. Входной ток низкого уровня, мА / $U_I = 0,4 \text{ В}, U_{CC} = 5,5 \text{ В}/$	I_{IL}						

Продолжение табл. I

Наименование параметра, единица измерения, режим измерения	Буквенное обозначение	Н о р м а				Температура, °С	
		57IXL1		57IXL2			
		не менее	не бо- лее	не менее	не бо- лее		
по информационным входам	I_{IL}	-	0,6	-	0,6	25 ± 10	
		-	0,7	-	0,7	-60 ± 3	
		-	0,7	-	0,7	125 ± 5	
		-	0,72	-	0,72	25 ± 10	
		-	0,8	-	0,8	125 ± 5	
		-	0,8	-	0,8	-60 ± 3	
		-	0,6	-	-	$+25 \pm 10$	
		-	0,7	-	-	-60 ± 3	
		-	0,7	-	-	$+125 \pm 5$	
		-	-	-	-	-	
5. Входной ток высокого уровня, мкА $(U_I = 2,4 \text{ В}, U_{CC} = 5,5 \text{ В})$	I_{IH}	-	-	-	-	-	
		-	48	-	48	-60 ± 3	
		-	40	-	40	25 ± 10	
		-	48	-	48	125 ± 5	
		-	48	-	48	-60 ± 3	
		-	40	-	40	25 ± 10	
		-	48	-	48	125 ± 5	
		-	-	-	-	-	
		-	-	-	-	-	
		-	-	-	-	-	

Продолжение табл. I

Наименование параметра, единица измерения, режим измерения	Буквенное обозначение	Н о р м а				Температура, °C	
		57IXII		57IXI2			
		не мен- нее	не бо- лее	не мен- нее	не бо- лее		
по входам/выходам микросхем 57IXII							
1) втекающий		-	60	-	-	-60±3	
		-	48	-	-	25±10	
		-	60	-	-	125±5	
2) вытекающий		-	20	-	-	-60±3	
		-	10	-	-	25±10	
		-	20	-	-	125±5	
6. Входной ток в состоянии "Выключено", мА $I_{U_I, инф} = 0,4 \dots 2,4$ В $U_I, упр = 2,0$ В [*] $U_{CC} = 0 \dots 5,5$ В или вывод 16 не подключен /	I_{IZ}						
по информационным входам		-	48	-	48	-60±3	
		-	40	-	40	25±10	
		-	48	-	48	125±5	
по входам/выходам микросхем 57IXI2							
1) втекающий		-	48	-	-	-60±3	
		-	40	-	-	25±10	
		-	48	-	-	125±5	
2) вытекающий		-	20	-	-	-60±3	
		-	10	-	-	25±10	
		-	20	-	-	125±5	

Продолжение табл. I

Наименование параметра, единица измерения, режим измерения	Буквенное обозначение	Н о р м а				Температура, °С
		57IXII	57IXIIS	не мен- нее	не бо- лее	
* При $U_{CC} = 0$ или неподключенном выводе I6 величина U_I , упр не регламентируется						
7. Выходной ток в состоянии "Выключено", мА U_I , упр = 2,0В,* $U_o = 0,4 \dots 2,4$ В $U_{CC} = 0 \dots 5,5$ В или вывод I6 не подключен /	I_{Dz}					
1) втекающий		-	10	-	10	-60±3
		-	5	-	5	25±10
		-	10	-	10	125±5
2) вытекающий		-	20	-	20	-60±3
		-	10	-	10	25±10
		-	20	-	20	125±5
* При $U_{CC} = 0$ или неподключенном выводе I6 величина U_I , упр не регламентируется						
8. Ток короткого замыкания, мА $U_I, \text{инф} = 0,7$ В , $U_{CC} = 4,5$ В /	I_{os}^{**}	16	-	16	-	-60±3
		20	-	20	-	25±10
		16	-	16	-	125±5
** - параметр неэксплуатационный						

Продолжение табл. I

Наименование параметра, единица измерения, режим измерения	Буквенное обозначение	Н о р м а				Temperatura, °C	
		57IXM1		57IXM2			
		не менее	не бо- лее	не менее	не бо- лее		
9. Средний потребляемый ток, мА $/U_{I, \text{упр}} = 0,4 \text{ В},$ $U_{CC} = 5,5 \text{ В} /$	I_{CCAV}	-	18,2	-	14,5	-60±3	
		-	16,8	-	13,3	25±10	
		-	18,2	-	14,5	+125	
10. Ток, потребляемый в состоянии "Выключено", мА $/U_{I, \text{упр}} = 2,4 \text{ В},$ $U_{I, \text{инф}} = 0 \text{ В},$ $U_{CC} = 5,5 \text{ В} /$	I_{CCZ}	-	30	-	24	-60±3	
			28,2		22,4	25±10	
			30		24	125±5	
11. Время задержки распростране- ния сигнала при включении, нс $/ U_{CC} = 5,0 \text{ В}, L_L = 40 \text{ пФ} /$	t_{PLH}	-	50	-	50	+25±10	
		-	70	-	70	-60±3	
		-	50	-	50	125±5	
12. Время задержки распростране- ния сигнала при выклю- чении, . нс $/ U_{CC} = 5,0 \text{ В}, L_L = 40 \text{ пФ} /$	t_{PLH}	-	60	-	60	+25±10	
		-	60	-	60	-60±3	
		-	100	-	100	+125±5	
13. Время задержки распростране- ния сигнала при переключении из состояния низкого уровня в состояние "Выключено", нс $(U_{CC} = 5,0 \text{ В},$ $L_L = 40 \text{ пФ}$ $U_{I, \text{инф}} = 2,4 \text{ В})$	t_{PLZ}	-	100	-	100	+25±10	
		-	140	-	140	-60±3	
		-	140	-	140	+125±5	

Продолжение табл. I

Наименование параметра, единица измерения, режим измерения	Буквенное обозначение	Н о р м а				Temperatura, °C	
		57IXL1		57IXL2			
		не мен- нее	не бо- лее	не мен- нее	не бо- лее		
I4. Время задержки распространения сигнала при переключении из состояния "Выключено" в состояние "Низкий уровень", нс ($U_{CC} = 5,0$ В, $U_{I, инф} = 2,4$ В, $C_L = 40$ пФ)	t_{PZL}	-	90	-	90	+25±10	
		-	130	-	130	-60±3	
		-	130	-	130	+125±5	
I5. Время задержки распространения сигнала при переключении из состояния "высокого уровня" в состояние "Выключено", нс ($U_{CC} = 5,0$ В, $U_{I, инф} = 0,4$ В, $C_L = 40$ пФ)	t_{PRZ}	-	100	-	100	+25±10	
		-	140	-	140	-60±3	
		-	140	-	140	+125±5	
I6. Время задержки распространения сигнала при переключении из состояния "Выключено" в состояние "Высокий уровень", нс ($U_{CC} = 5,0$ В, $U_{I, инф} = 0,4$ В, $C_L = 40$ пФ)	t_{PRH}	-	90	-	90	+25±10	
		-	130	-	130	-60±3	
		-	130	-	130	+125±5	

4. СПРАВОЧНЫЕ ДАННЫЕ

4.1. Зависимости основных электрических параметров от режимов и условий применения приведены на рис. 59... 102. Схема эквивалента нагрузки, подключаемого к выходам микросхем 571ХЛ1, 571ХЛ2 при определении зависимостей динамических параметров от индуктивности и емкости нагрузки приведена на рис.103.

4.2. Приведенные в ТУ графические зависимости электрических параметров определяют характер их изменения в зависимости от режимов и условий применения и не устанавливают граничных значений этих параметров.

График зависимости $U_{OL} = f(t)$ при $U_{CC} = 4,5\text{В}$, $U_I = 2,0\text{В}$
и $I_L = 10\text{mA}$

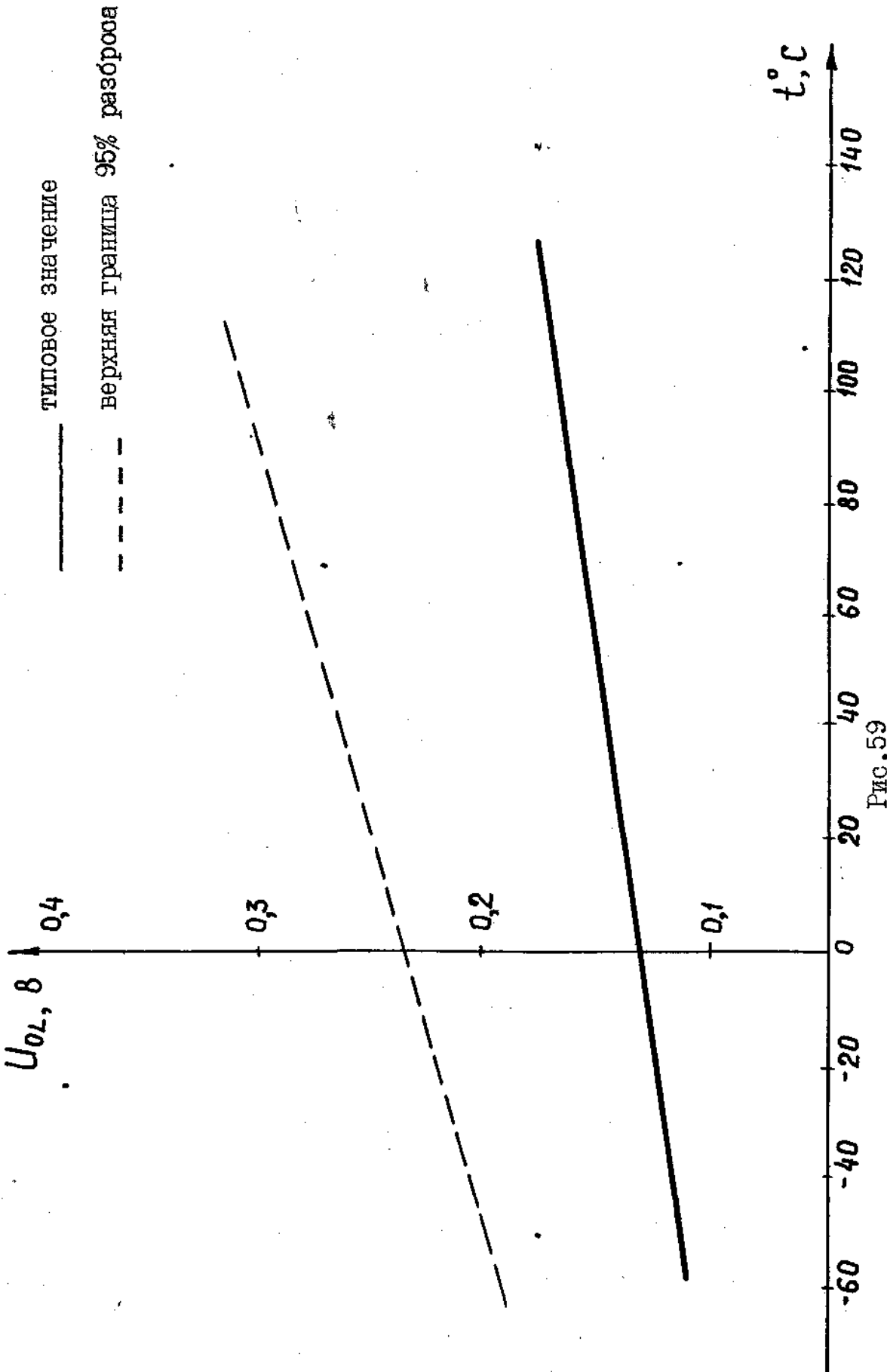


Рис.59

График зависимости $U_{OH} = f(t)$ при $U_{CC} = 4,5$ В

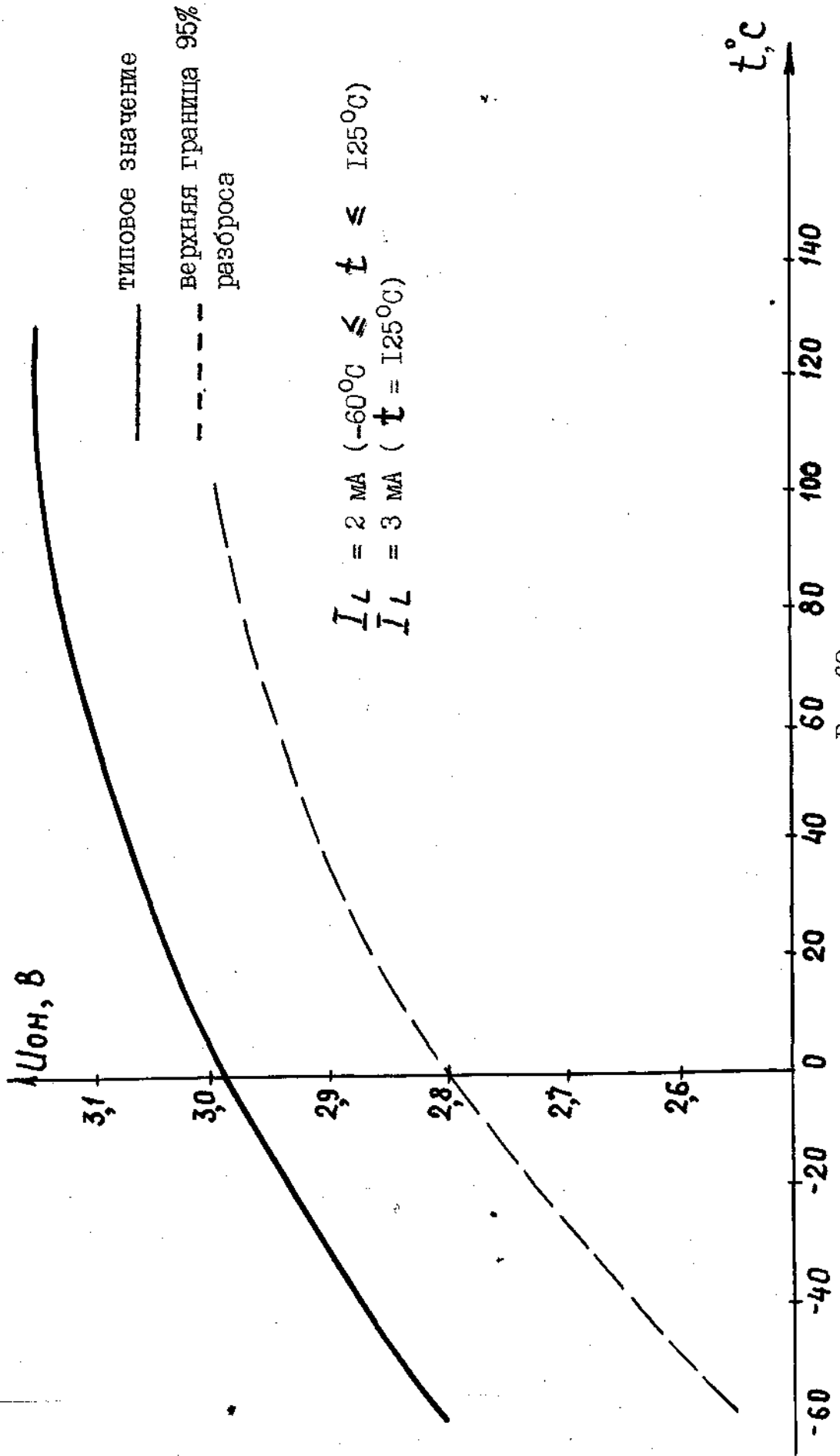


Рис. 60

График зависимости $U_{CII} = f(t)$ при $\bar{I}_D = 12 \text{ mA}$

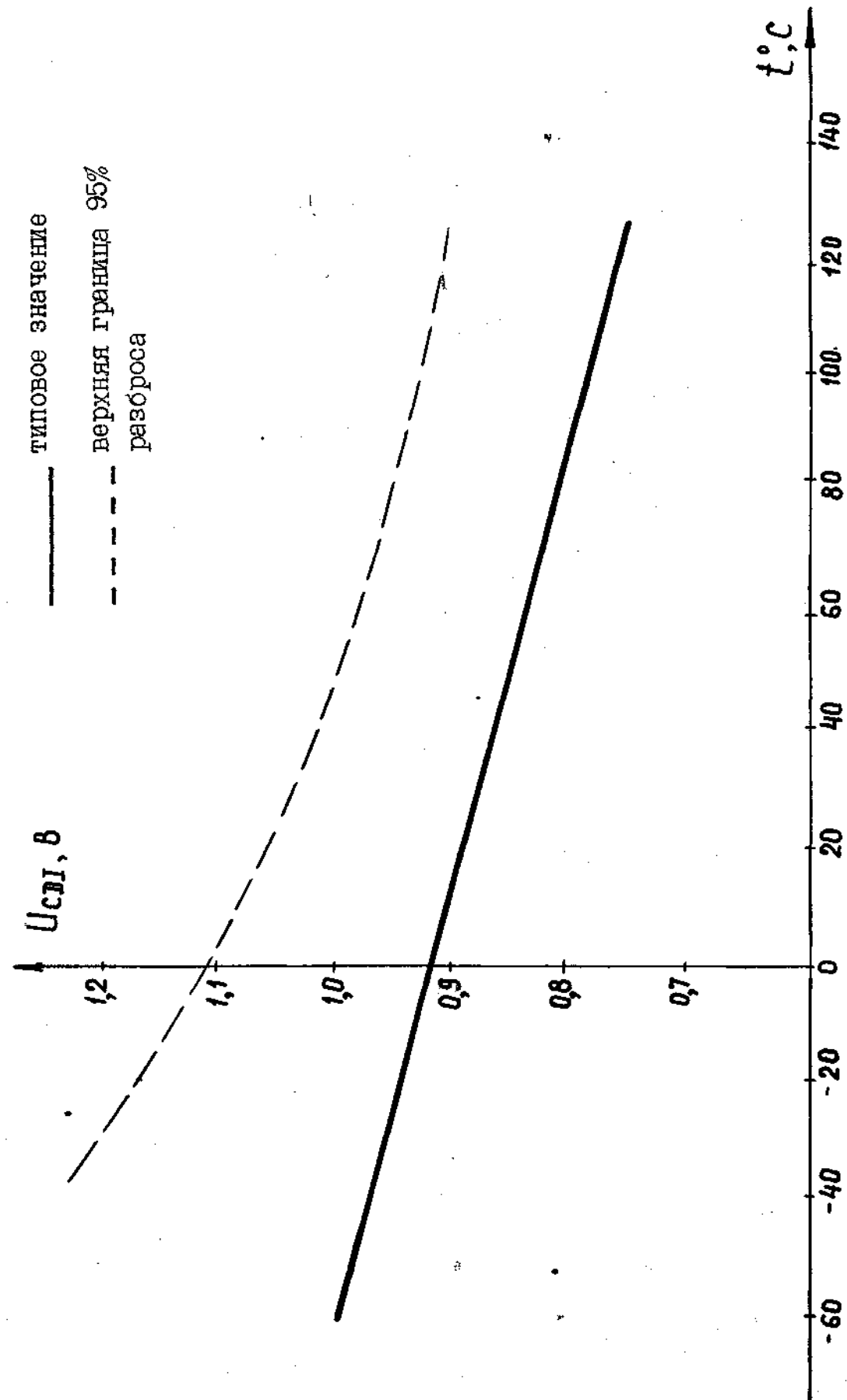


Рис. 61

Графики зависимости \bar{I}_{IL} , $u_{\text{нф}} = f(t)$ и \bar{I}_{IL} , $u_{\text{пр}} = f(t)$

при $U_{CC} = 5,5$ В и $U_{IL} = 0,4$ В

типовое значение

верхняя граница 95%
разброса

по выходам упр.

по инфр. выходам

по выходам упр.

по инфр. выходам

$t^{\circ}\text{C}$

-60 -40 -20 0 20 40 60 80 100 120 140

Рис. 62

График зависимости $\bar{I}_{IH} = f(t)$
 $U_{IH} = 2,4V$ при $U_{CC} = 5,5V$,

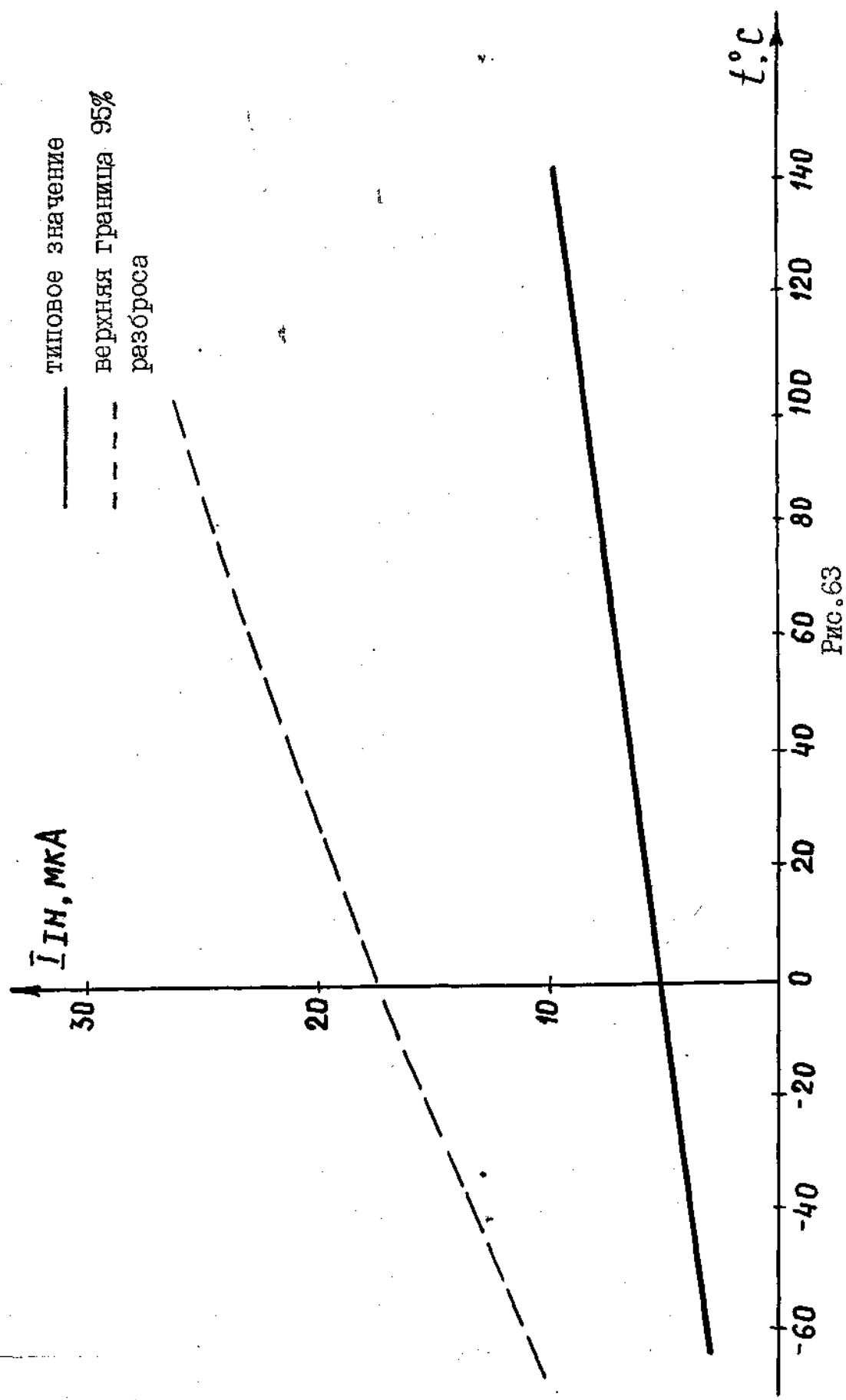


Рис. 63

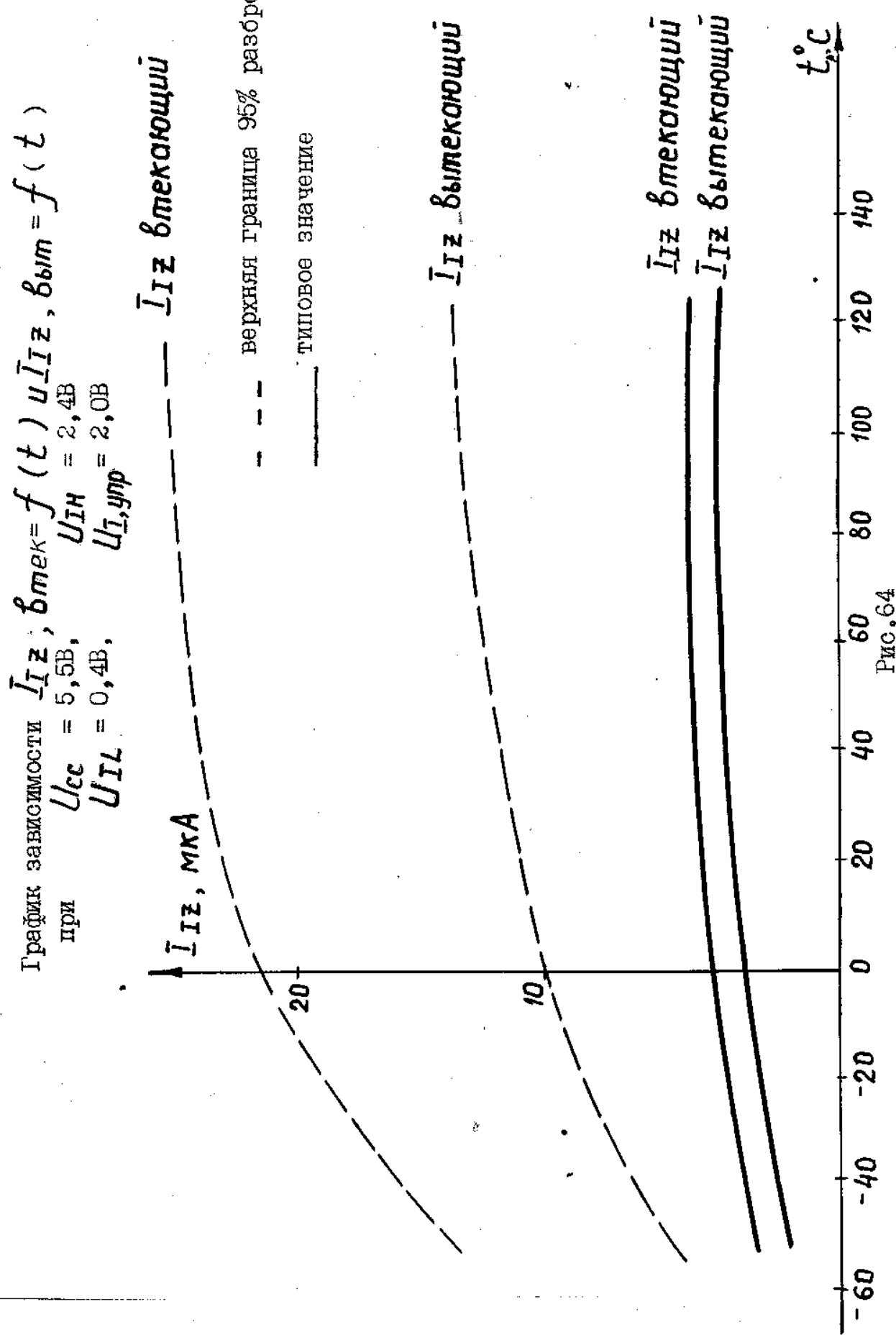


График зависимости $I_{os} = f(t)$ при $U_{cc} = 4,5V$

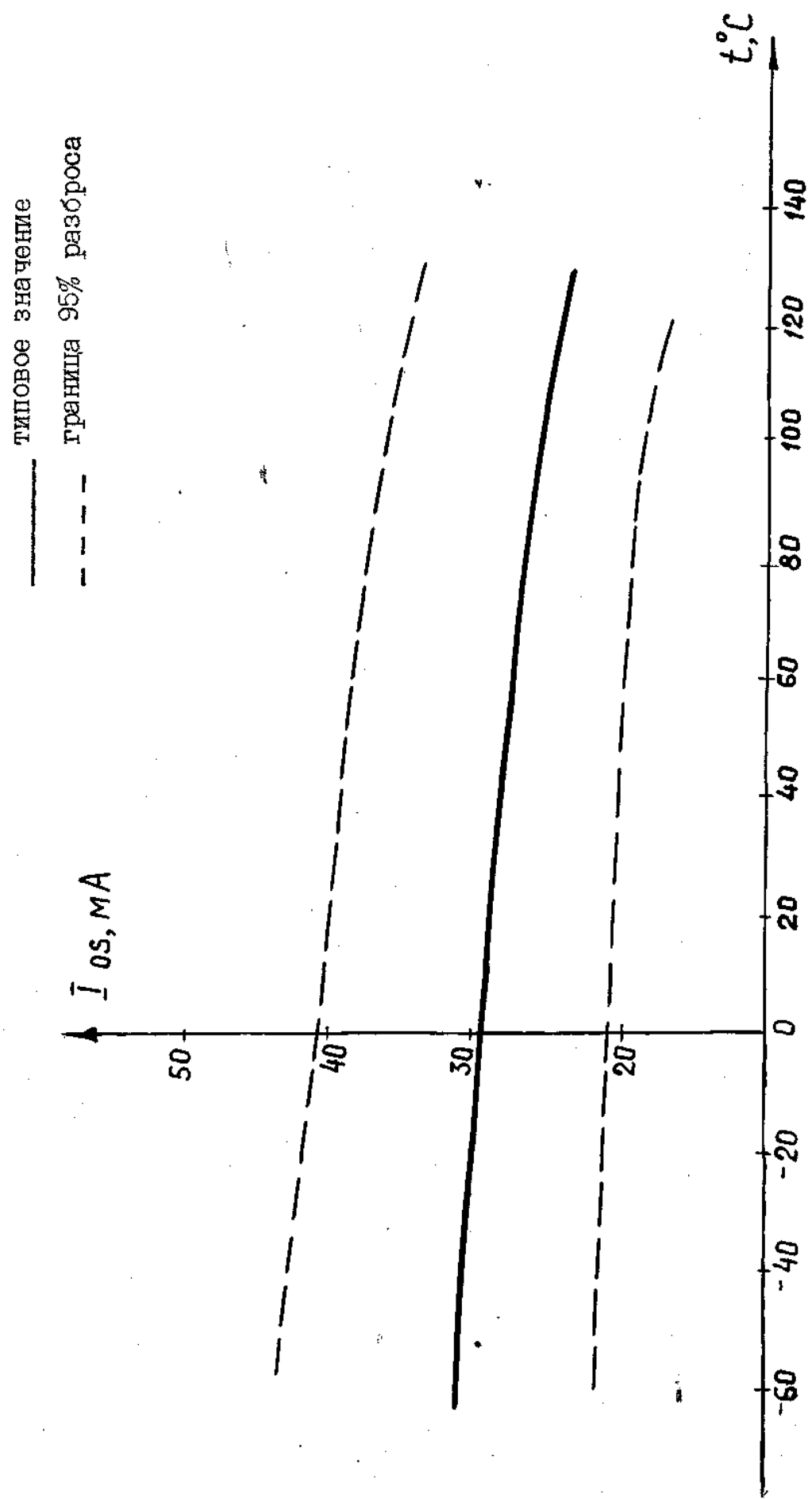


Рис. 65

График зависимости $\bar{I}_{CC\sigma V} = f(t)$ для микросхем 57ХУЛ
при $U_{CC} = 5,5$ В и $U_I = 2,4$ В

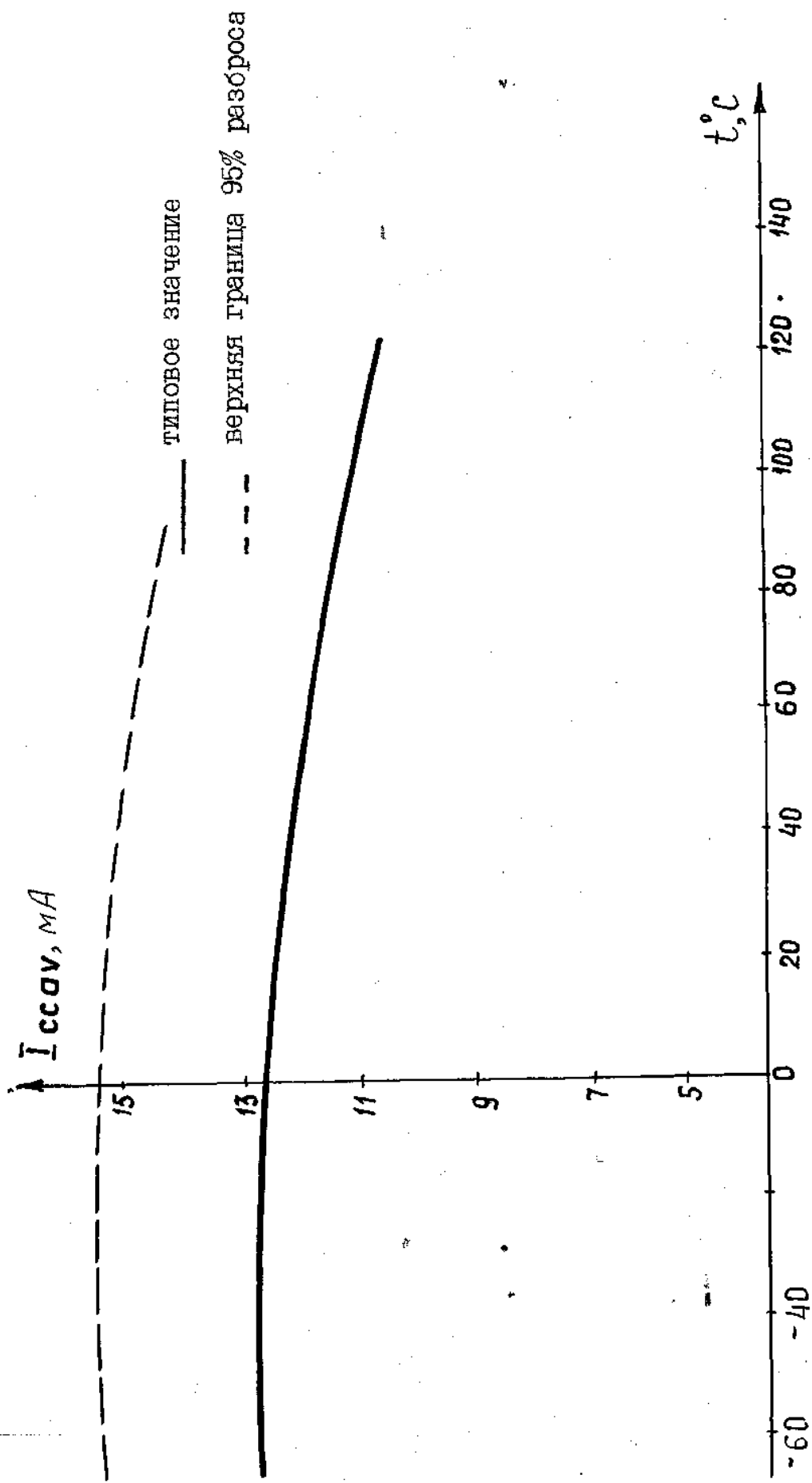


Рис. 66

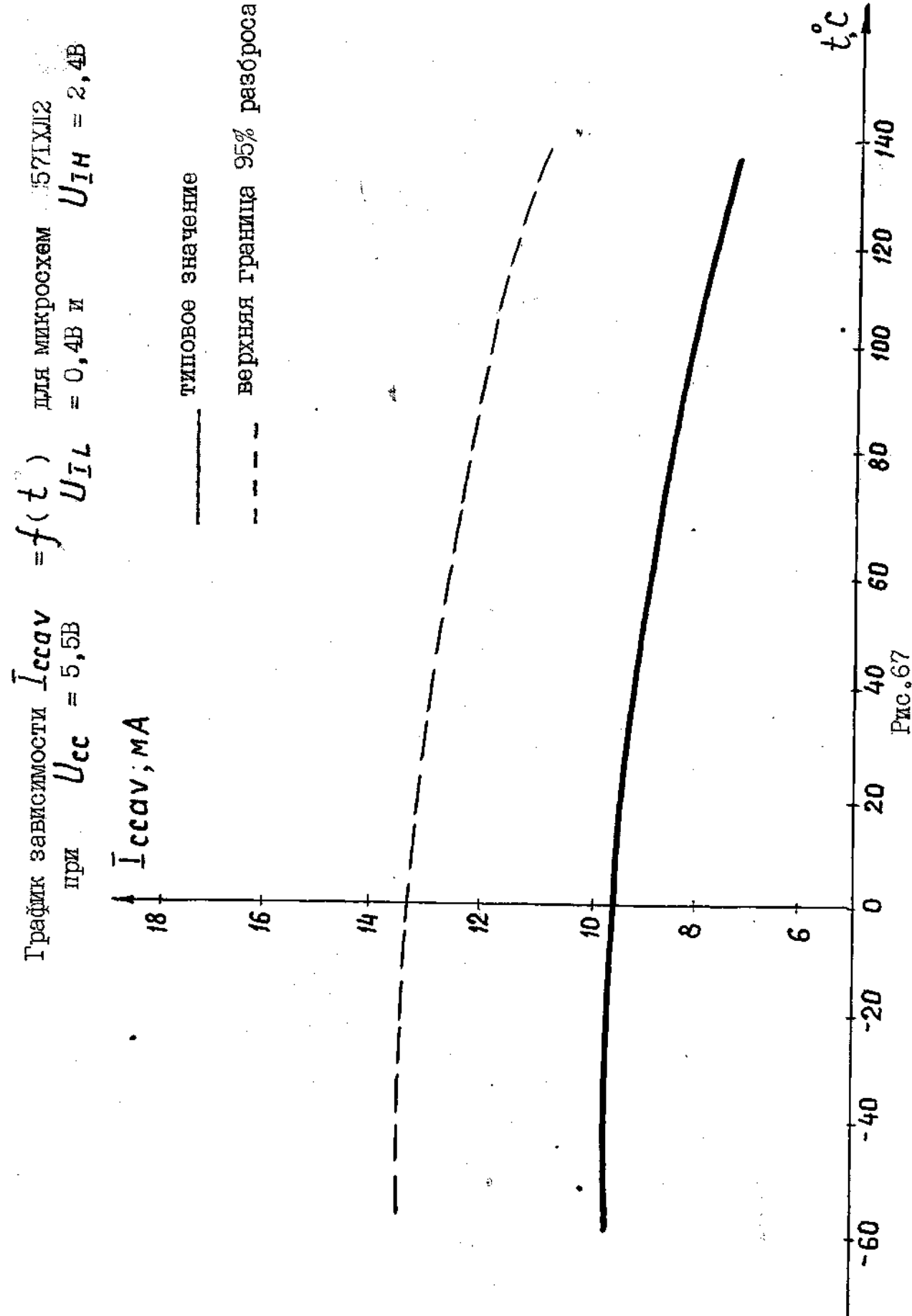


График зависимости $t_{\rho} = f(t)$ при $U_{cc} = 5,0В$, $U_I, y_{np} = 0,4В$ и подключенным к выходу эквиваленте нагрузки согласно рис. 56

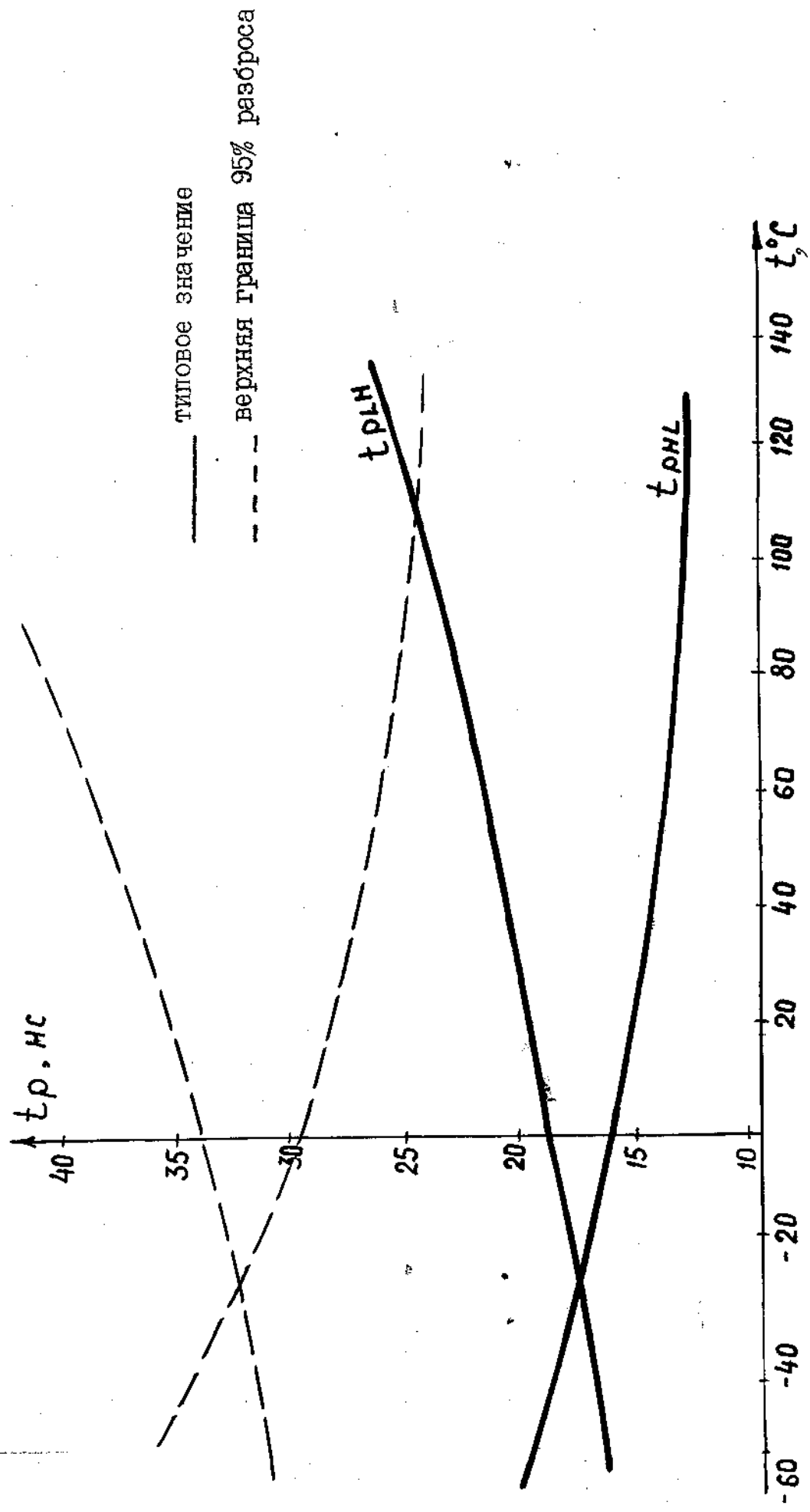


Рис. 68

График зависимости $t_{pz} = f(t)$ и $t_{pzL} = f(t)$ при $U_{cc} = 5,0В$,
 $U_{I, \text{ниф}} = 2,4В$ и подключенным к выходу эквиваленте нагрузки согласно рис. 56

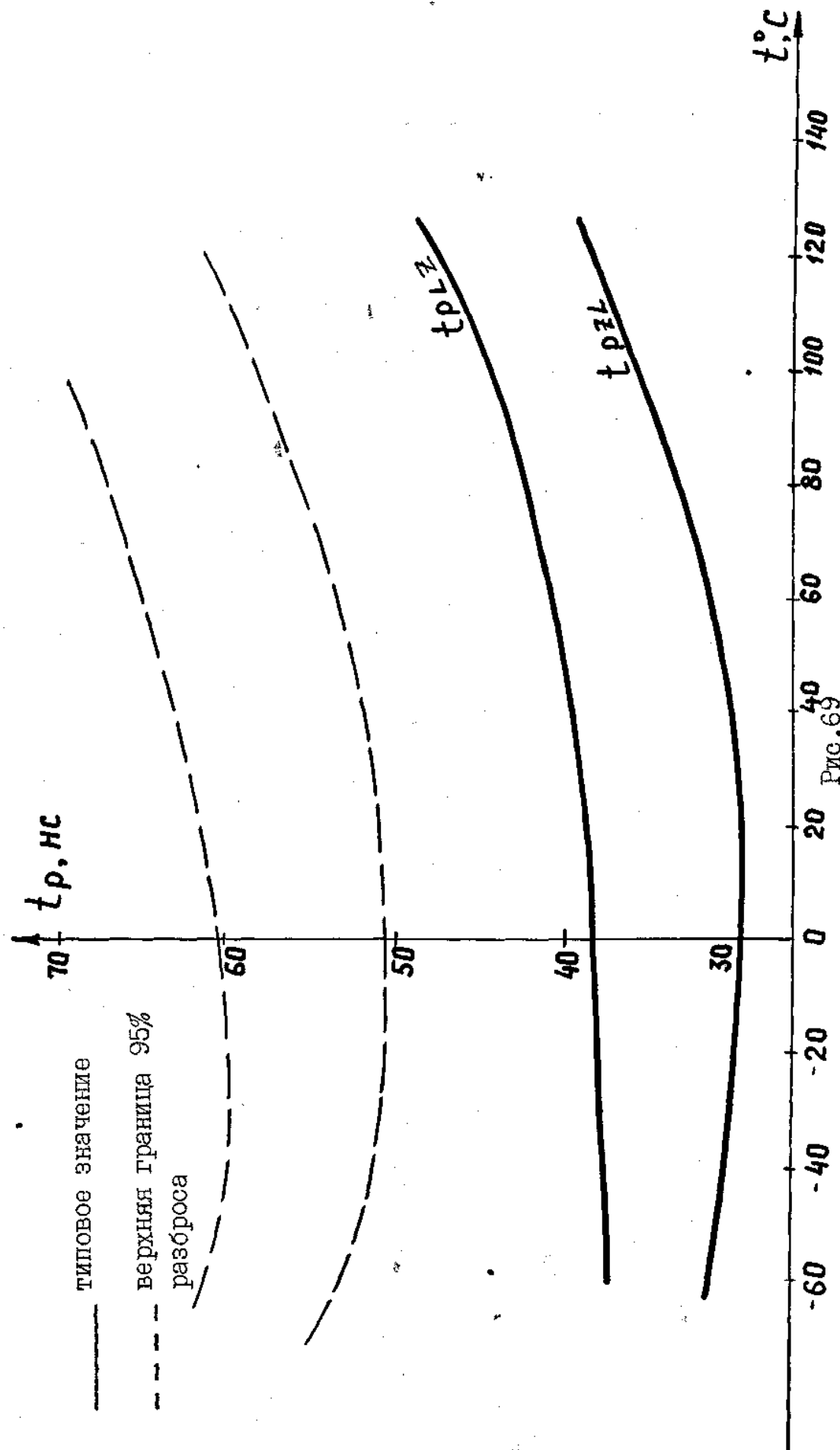


График зависимости $t_{RH} = f(t)$ и $t_{CC} = f(t)$ при $U_{CC} = 5,03$, $U_{T, min} = 0,44$ и постоянном k входит в квадратичное выражение сортавки со знаком плюс.

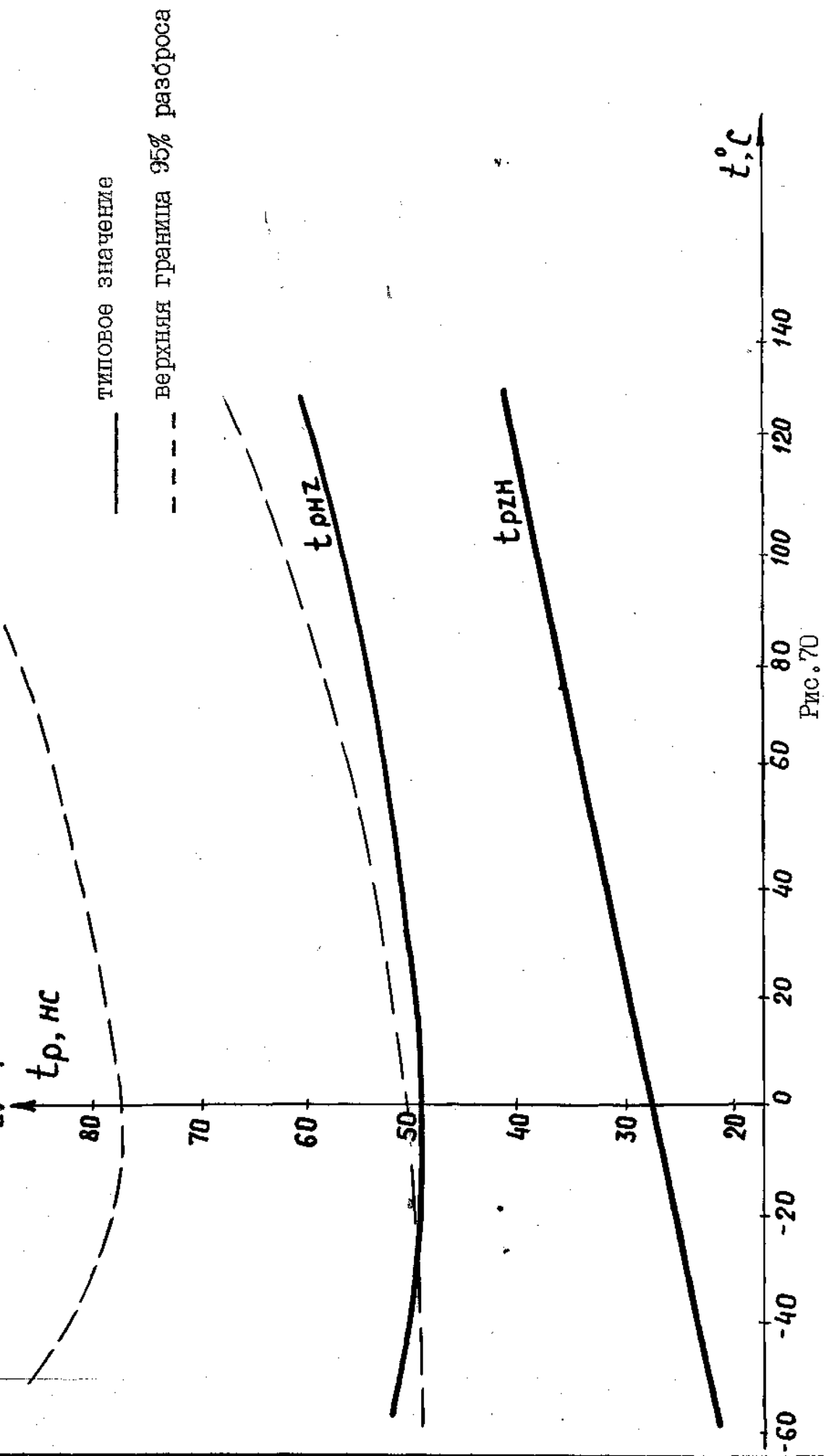


График зависимости $U_{OL} = f(U_{CC})$ при $U_I = 2,0\text{В}$

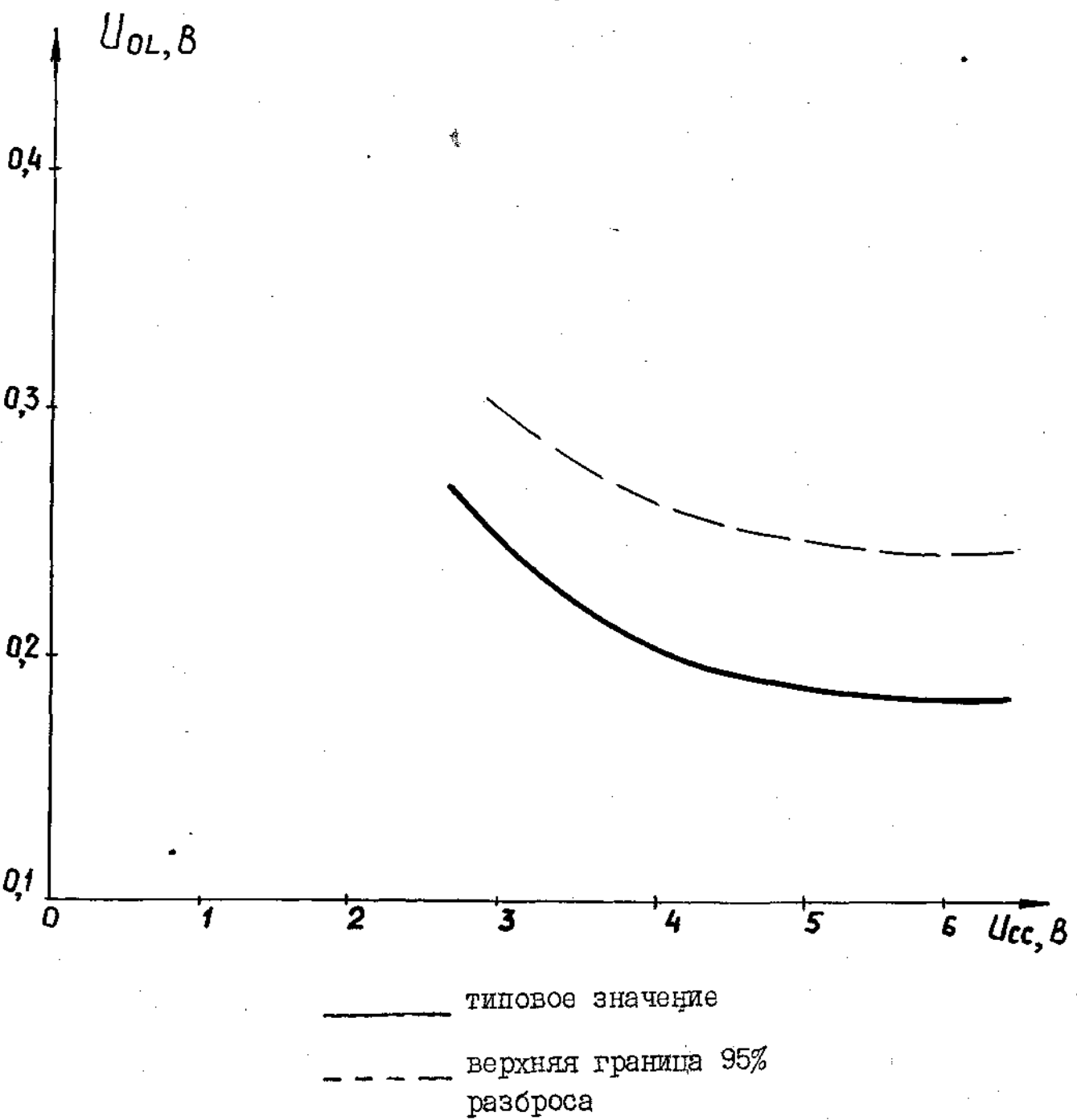


Рис. 71

График зависимости $U_{OH} = f(U_{CC})$ при $U_I = 0,7\text{В}$

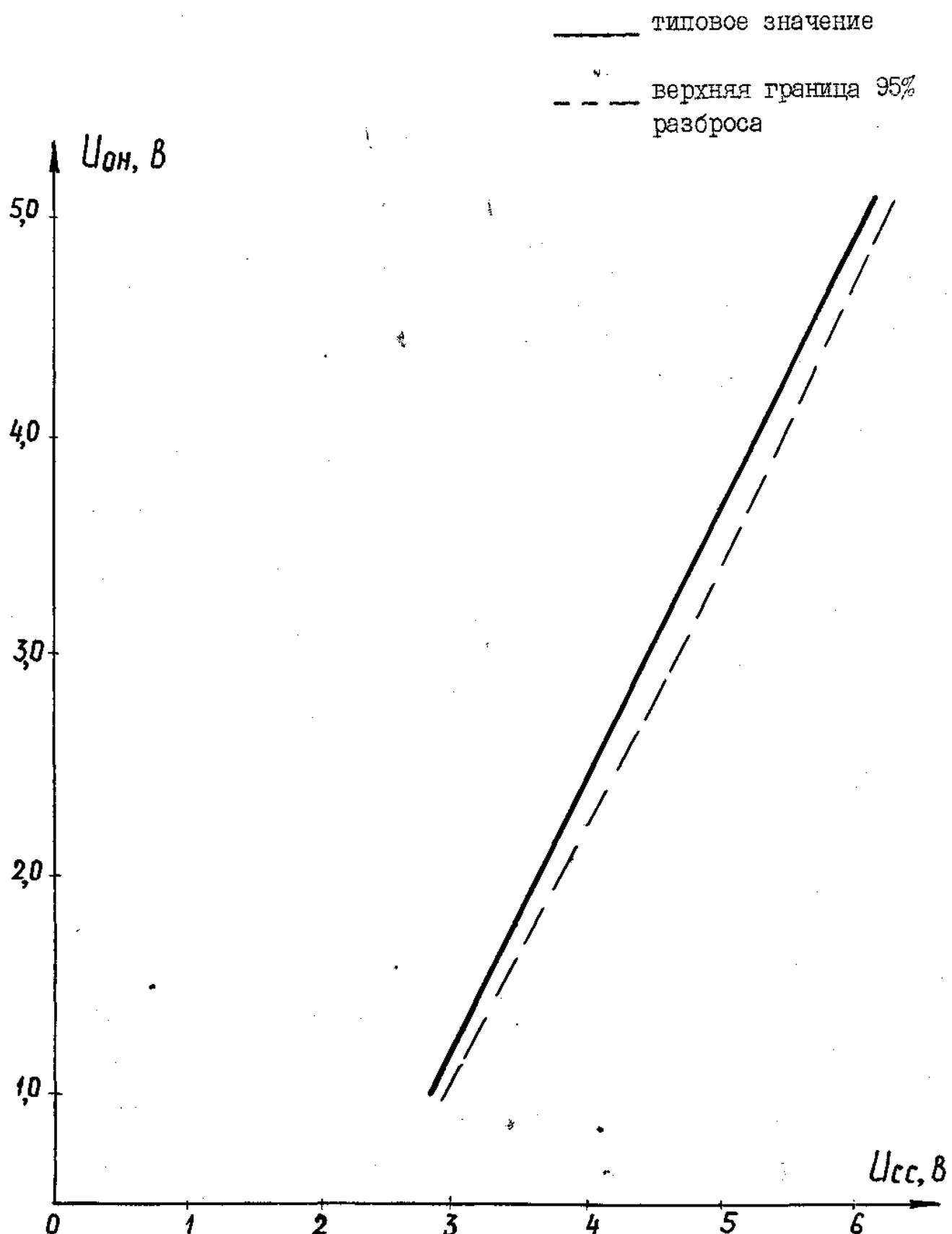


Рис. 72

График зависимости \bar{I}_{IL} , упр. = $f(U_{CC})$
 $U \bar{I}_{IL}$, унф = $f(U_{CC})$ при $U_{IL} = 0,4V$

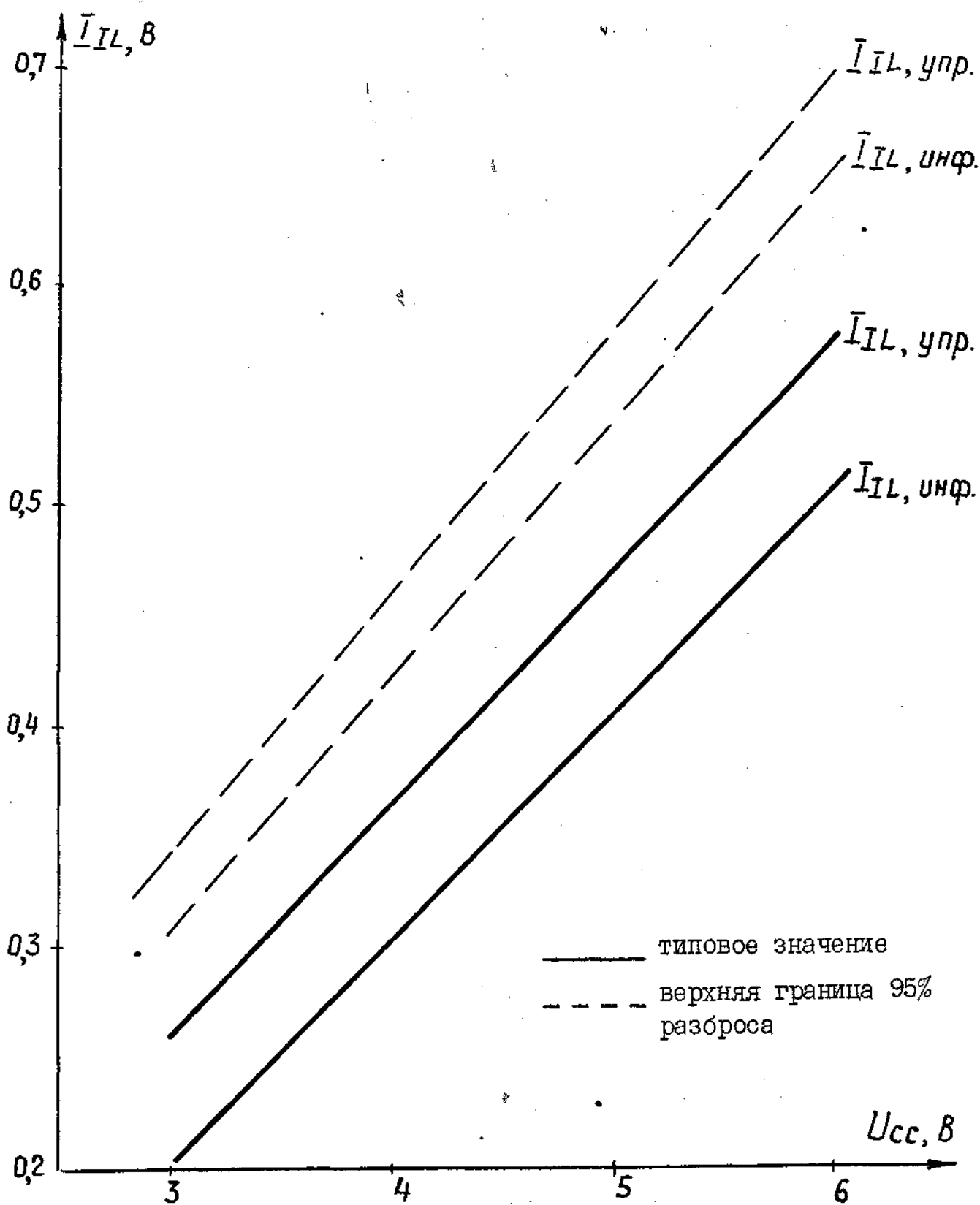


Рис.73

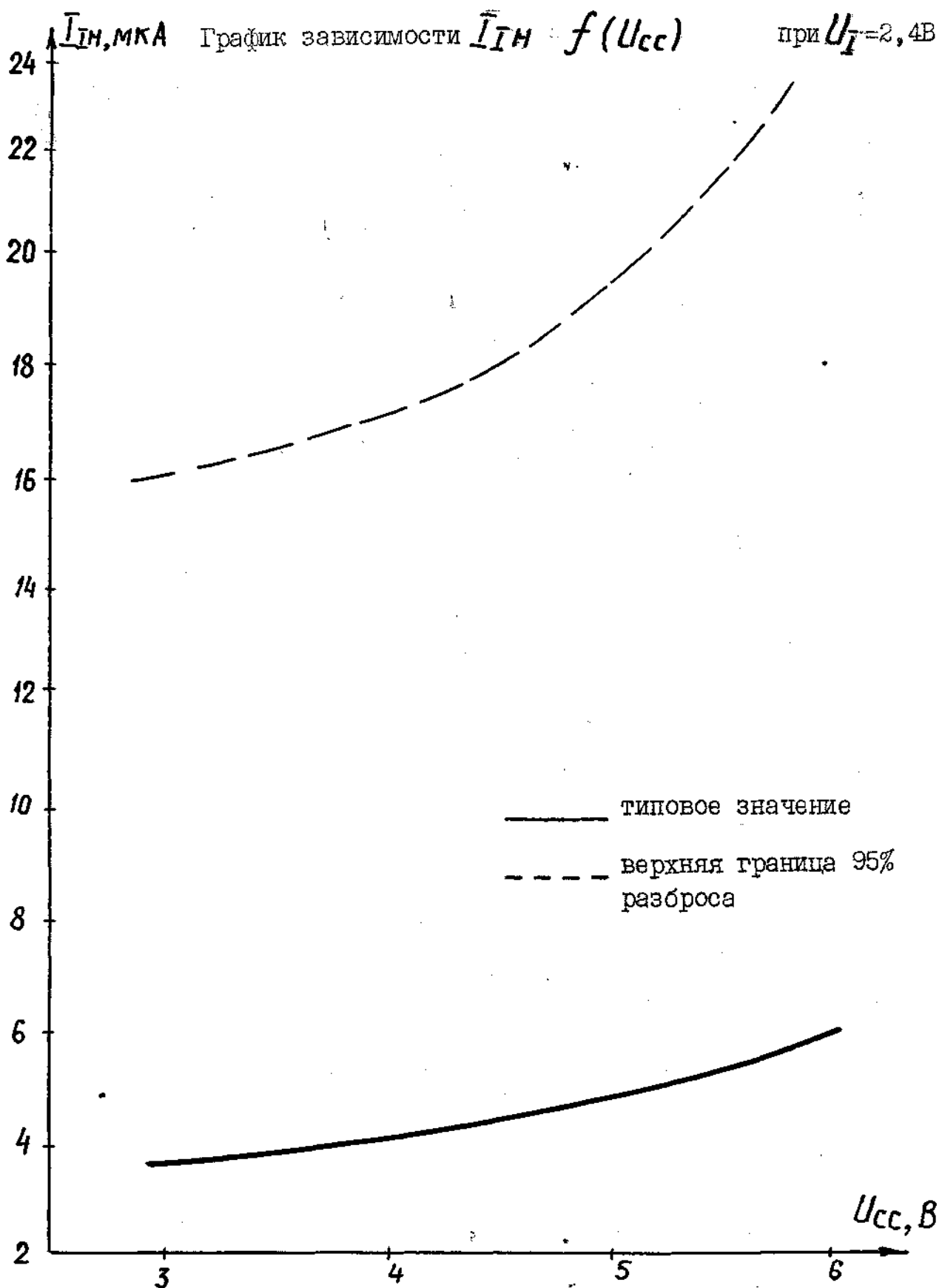


Рис. 74

График зависимости $I_{CCAV} = f(U_{CC})$ для
микросхем 571ХЛ1 и 571ХЛ2 при $U_{IL} = 0,4\text{В}$ и
 $U_{IH} = 2,4\text{В}$

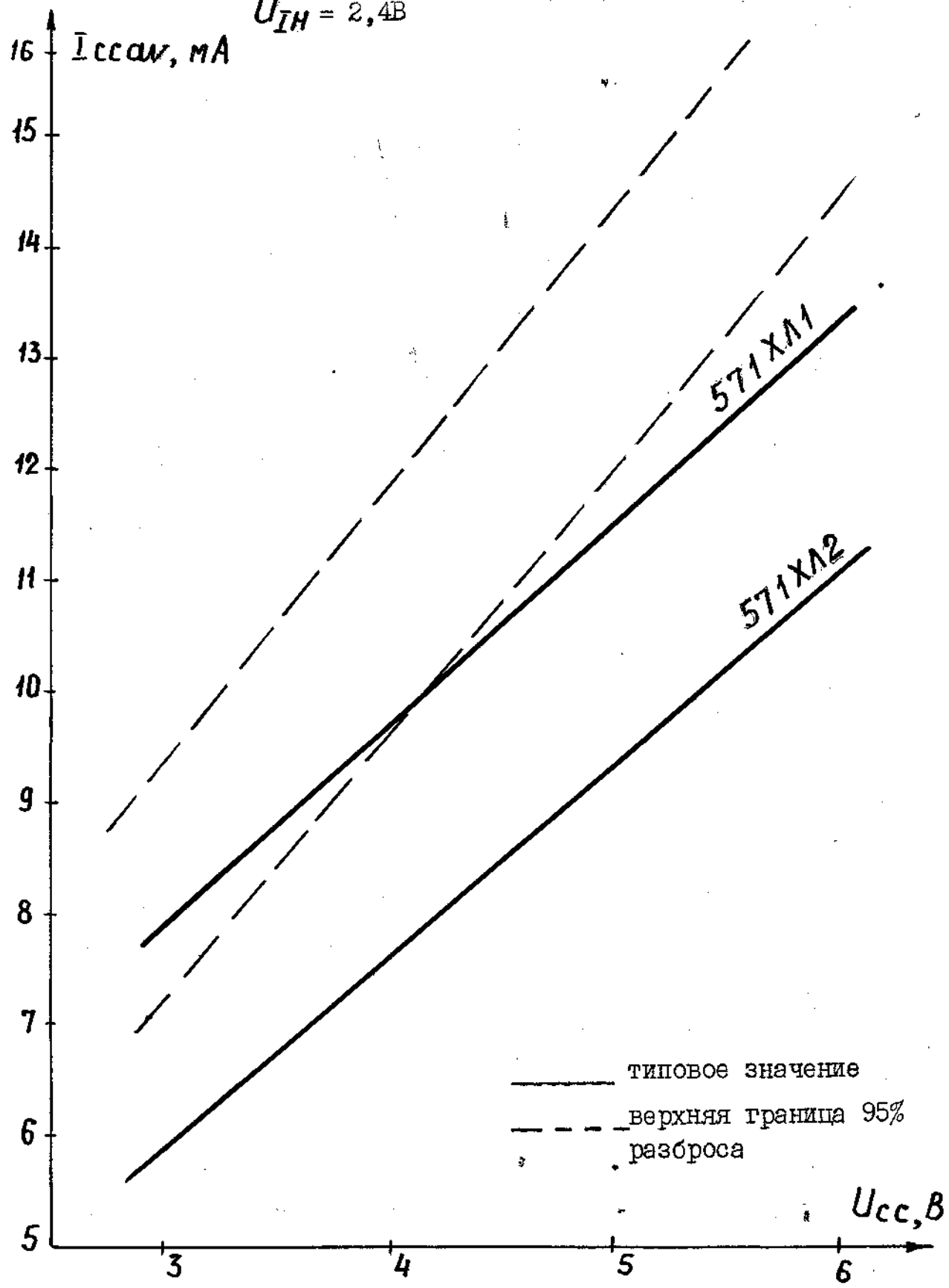


Рис. 75

График зависимости $I_{CCE} = f(U_{CC})$ при $U_I, \text{упр.} = 2,0 \text{ В}$

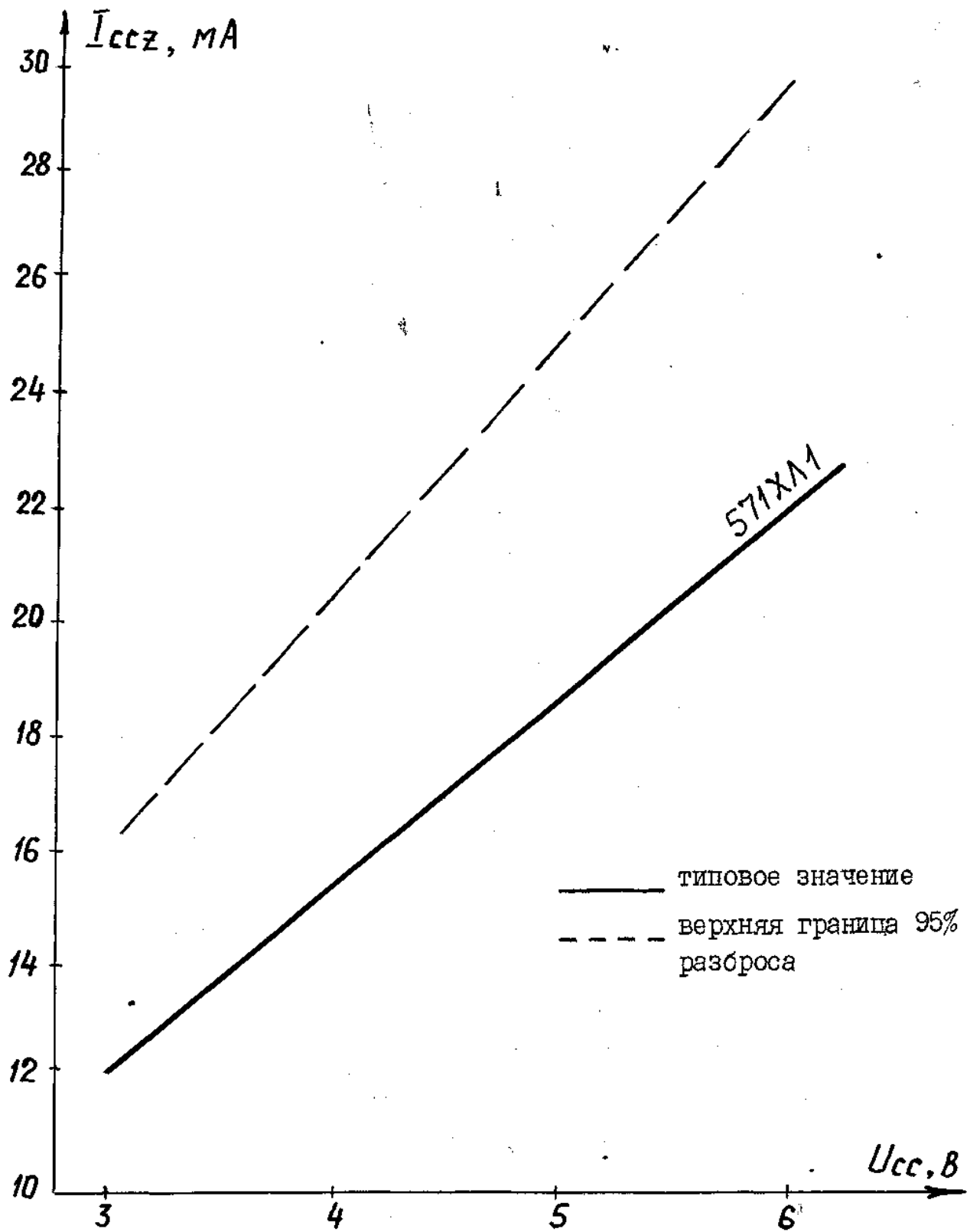


Рис. 76

График зависимости $I_{CCZ} = f(U_{CC})$ при $U_I, \text{упр} = 2,0 \text{ В}$

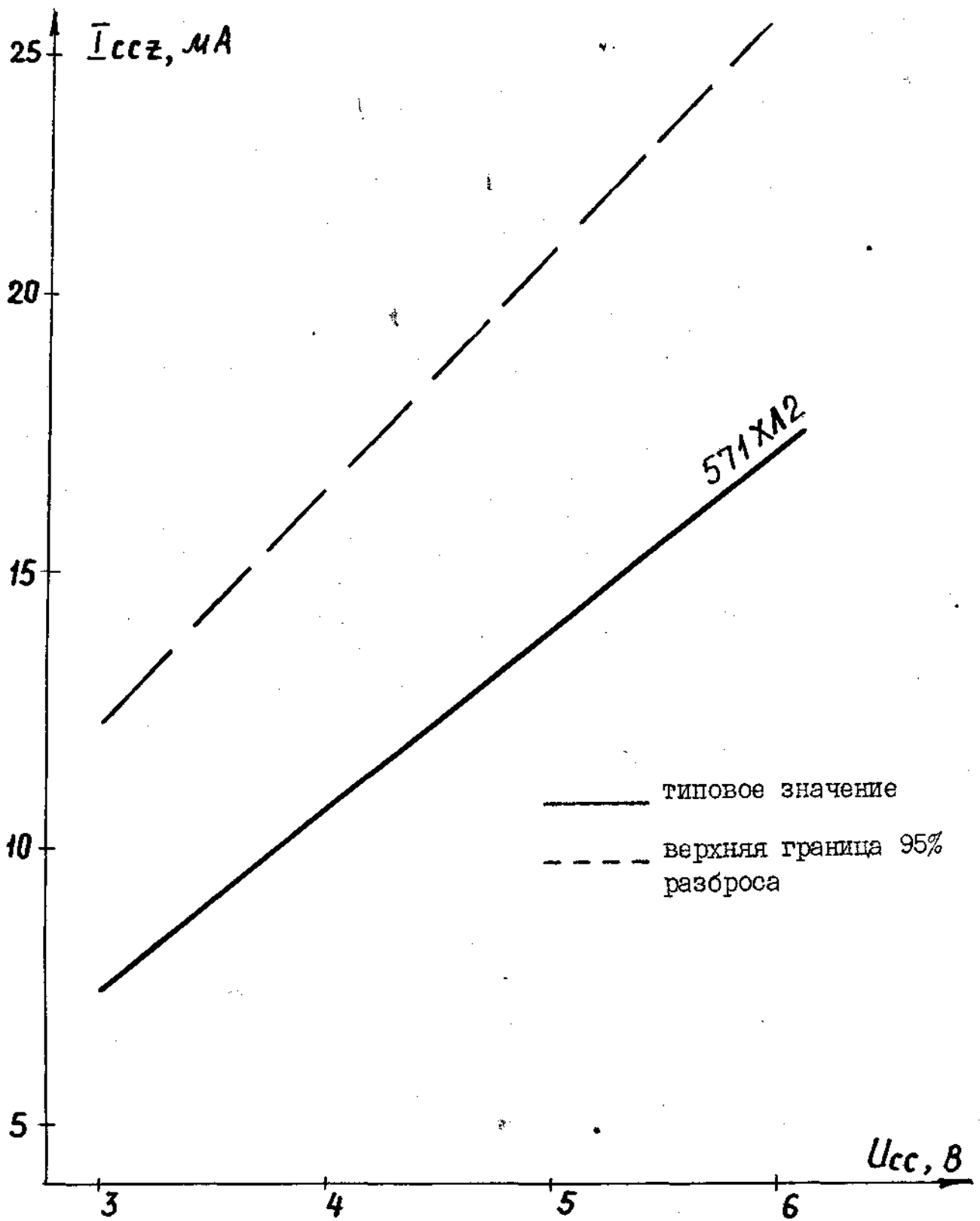


Рис. 77

График зависимости $t_{RH4} = f(U_{CC})$ при подключенном к выходу эквиваленте нагрузки согласно рис. 56

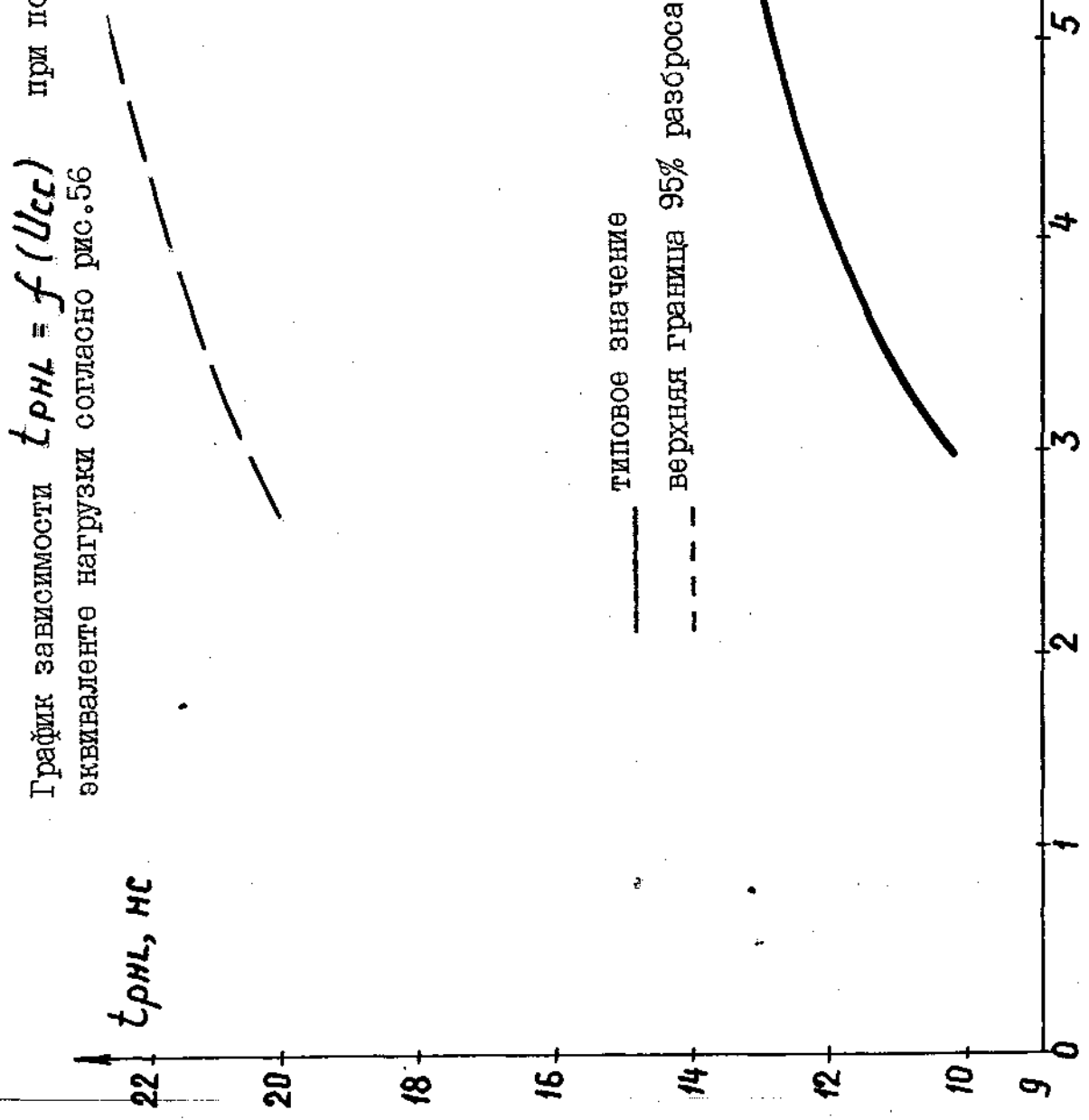


Рис. 78

График зависимости $t_{PLH} = f(U_{cc})$ при подключении эквиваленте нагрузки согласно рис. 56

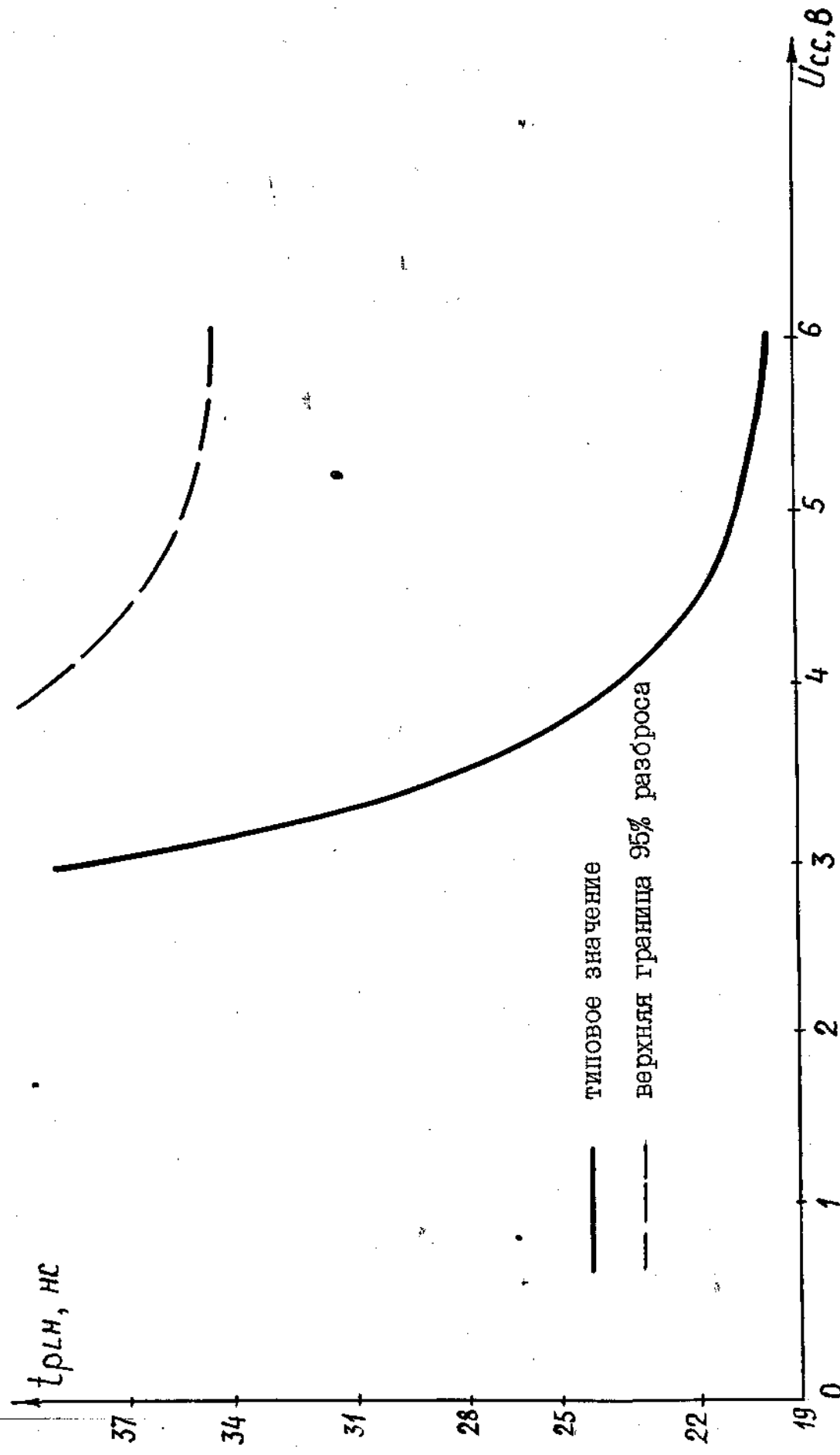


График зависимости $t_{PLZ} = f(U_{CC})$ при $U_I, \text{инф} = 2,4 \text{ В}$
и подключенным к выходу эквиваленте нагрузки согласно
рис.56

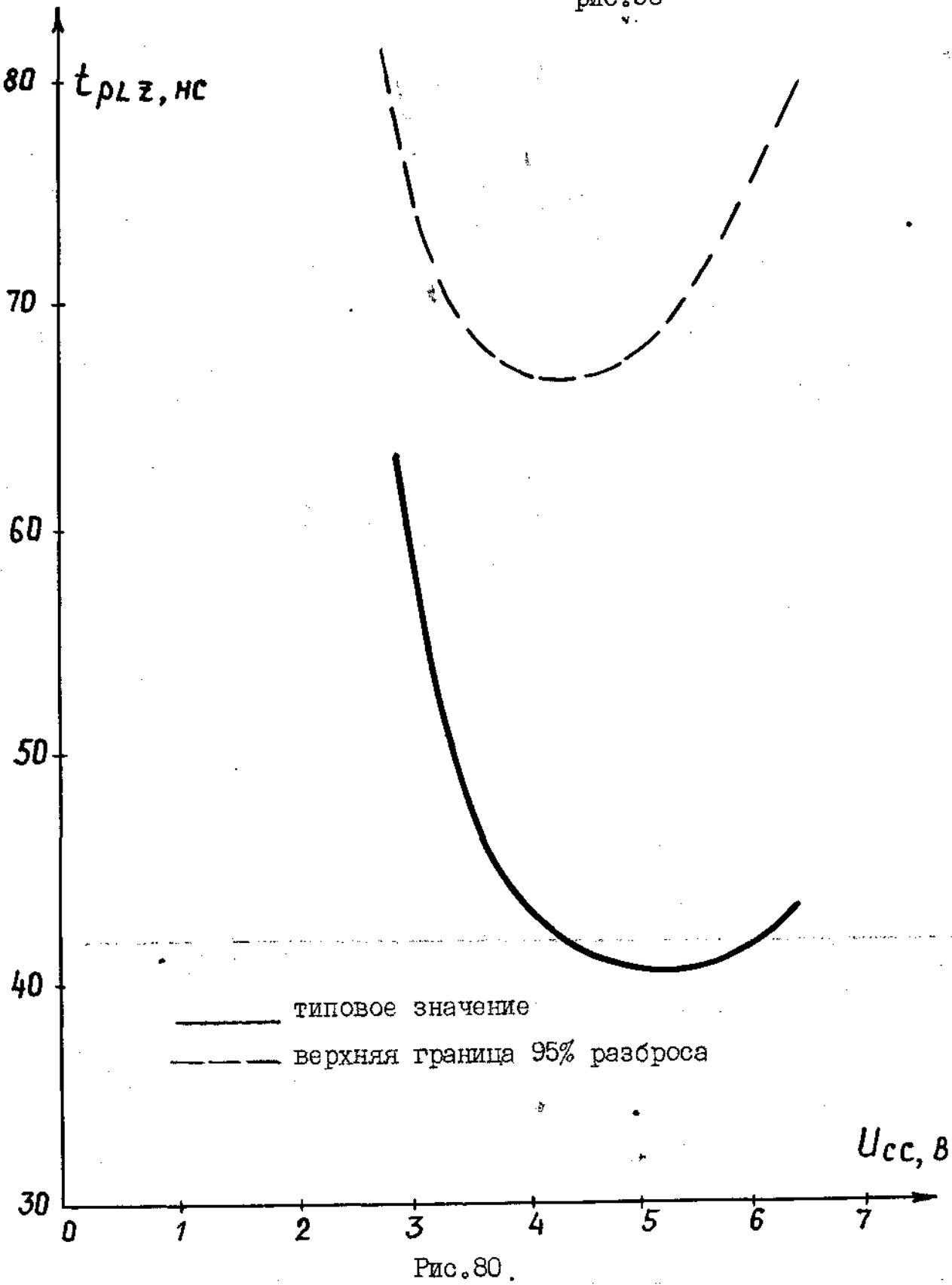


График зависимости $t_{pzL} = f(U_{cc})$ при $U_I, \text{инф} = 2,4 \text{ В}$
и подключенным к выходу эквиваленте нагрузки
согласно рис.56

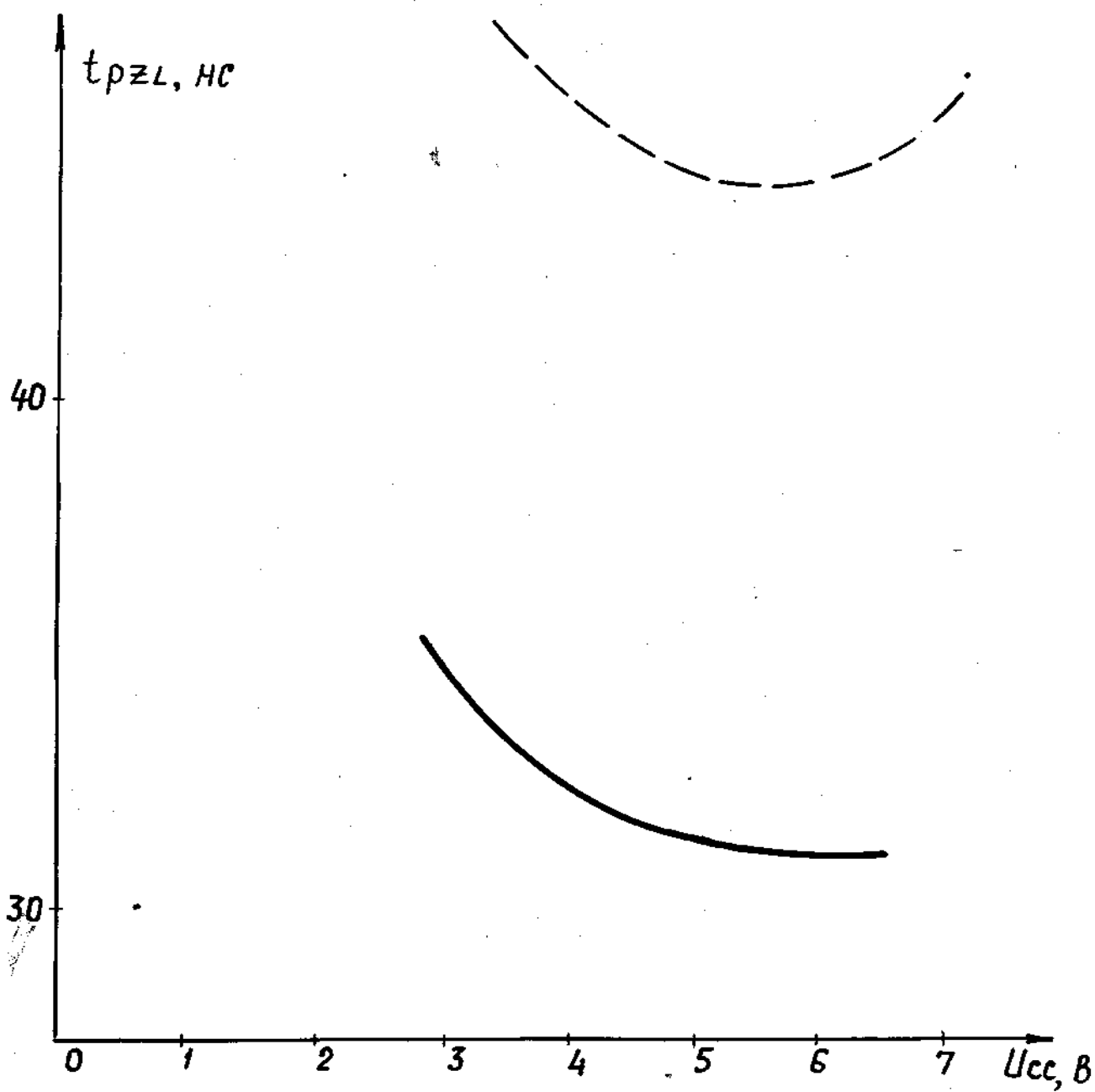


Рис.81

Графики зависимости $t_{рзН} = f(U_{cc})$ и $t_{рНЗ} = f(U_{cc})$ при $U_{I, инф} = 0,4В$ и подключенных к выходу эквиваленте нагрузки согласно рис. 56

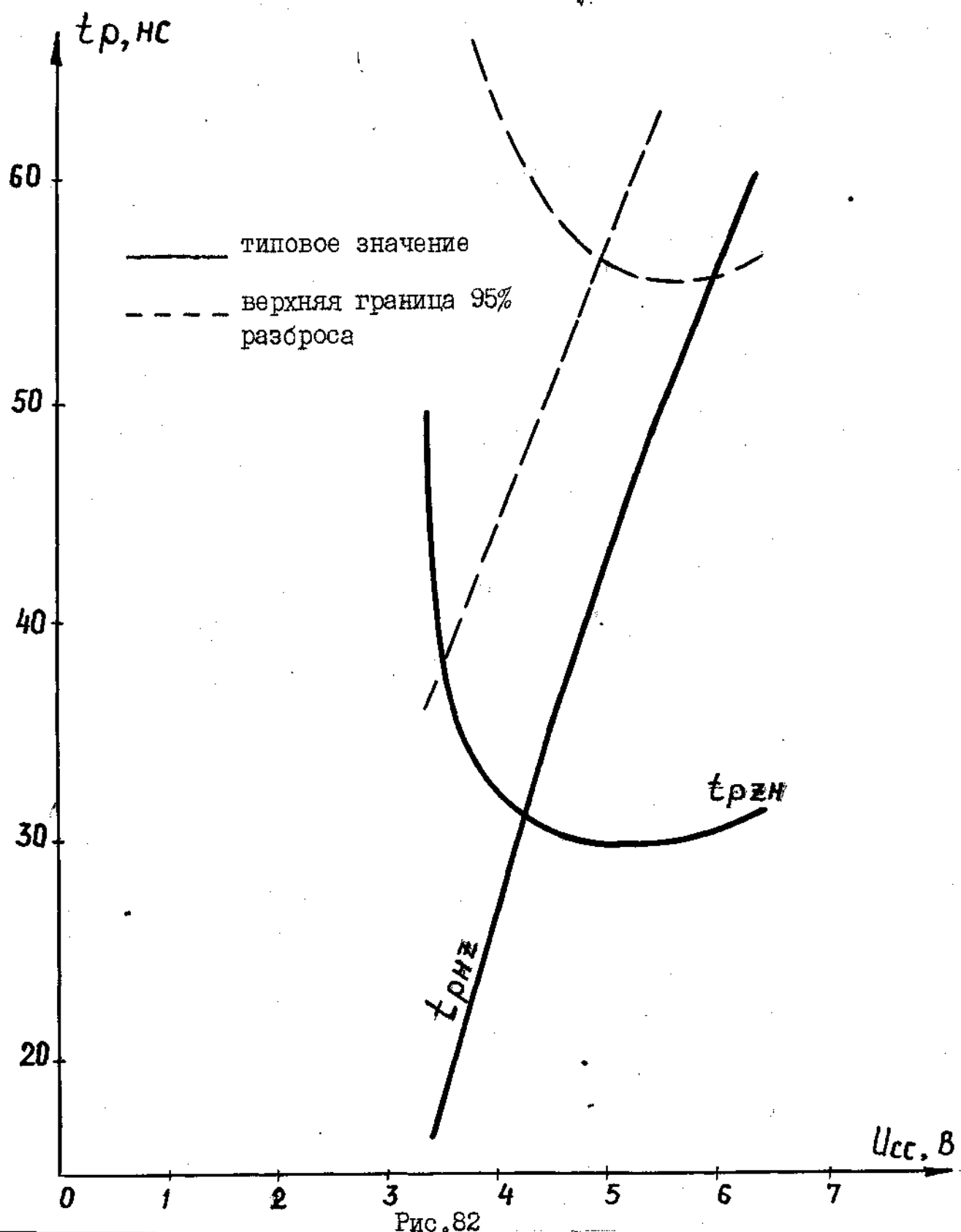


Рис. 82

График зависимости $U_{OL} = f(I_L)$ при $U_{CC} = 4,5\text{В}$ и $U_T = 2,0\text{В}$

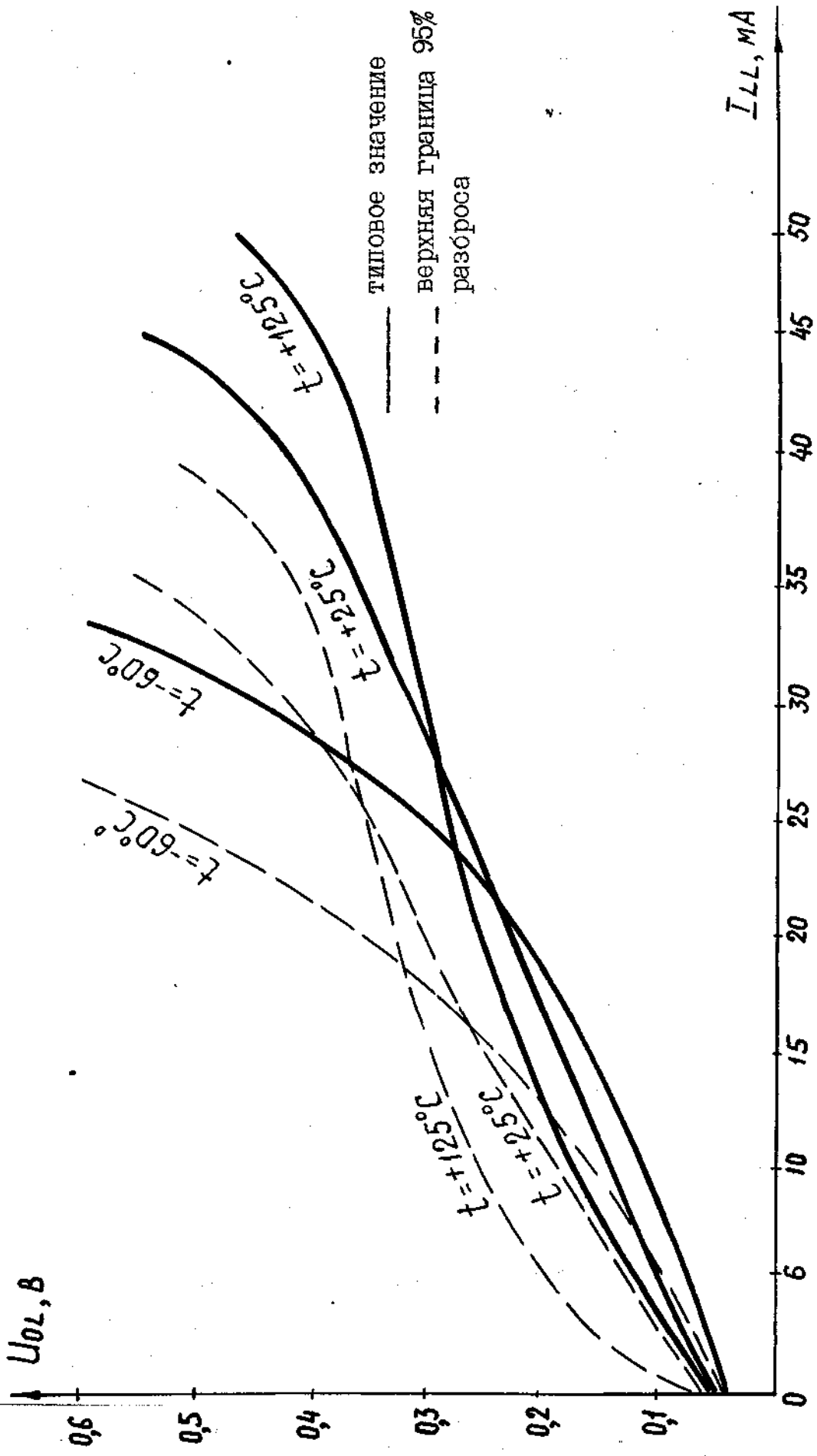


Рис. 83

График зависимости $U_{OH} = f(I_L)$ при

$$U_{CE} = 4,5V \text{ и } U_T = 0,7V$$

— типовое значение
- - - - нижняя граница
95% разброса

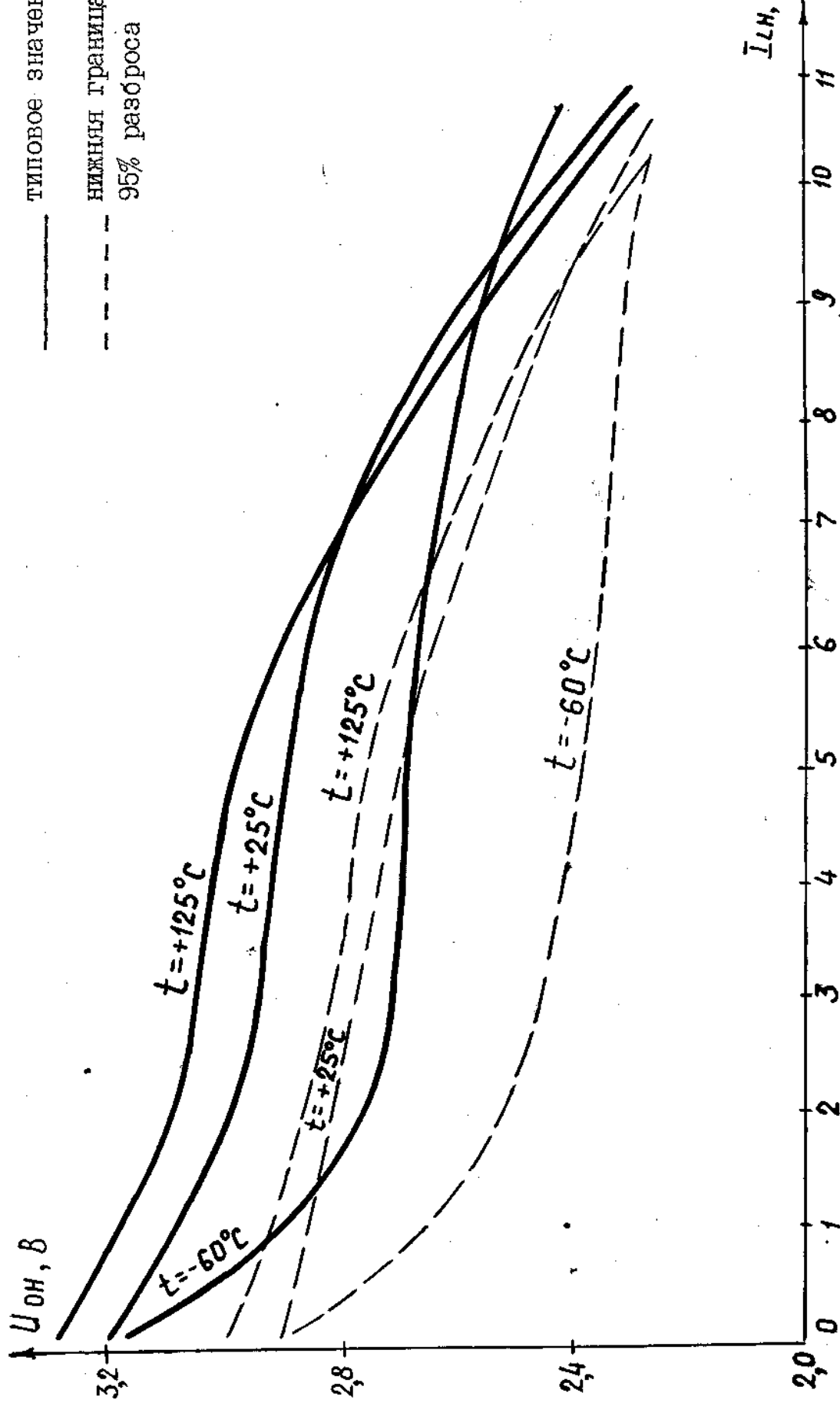


Рис. 84

График зависимости $U_o = f(U_I, u_{\text{нф}})$ при

$U_{cc} = 4,5 \text{ В}$

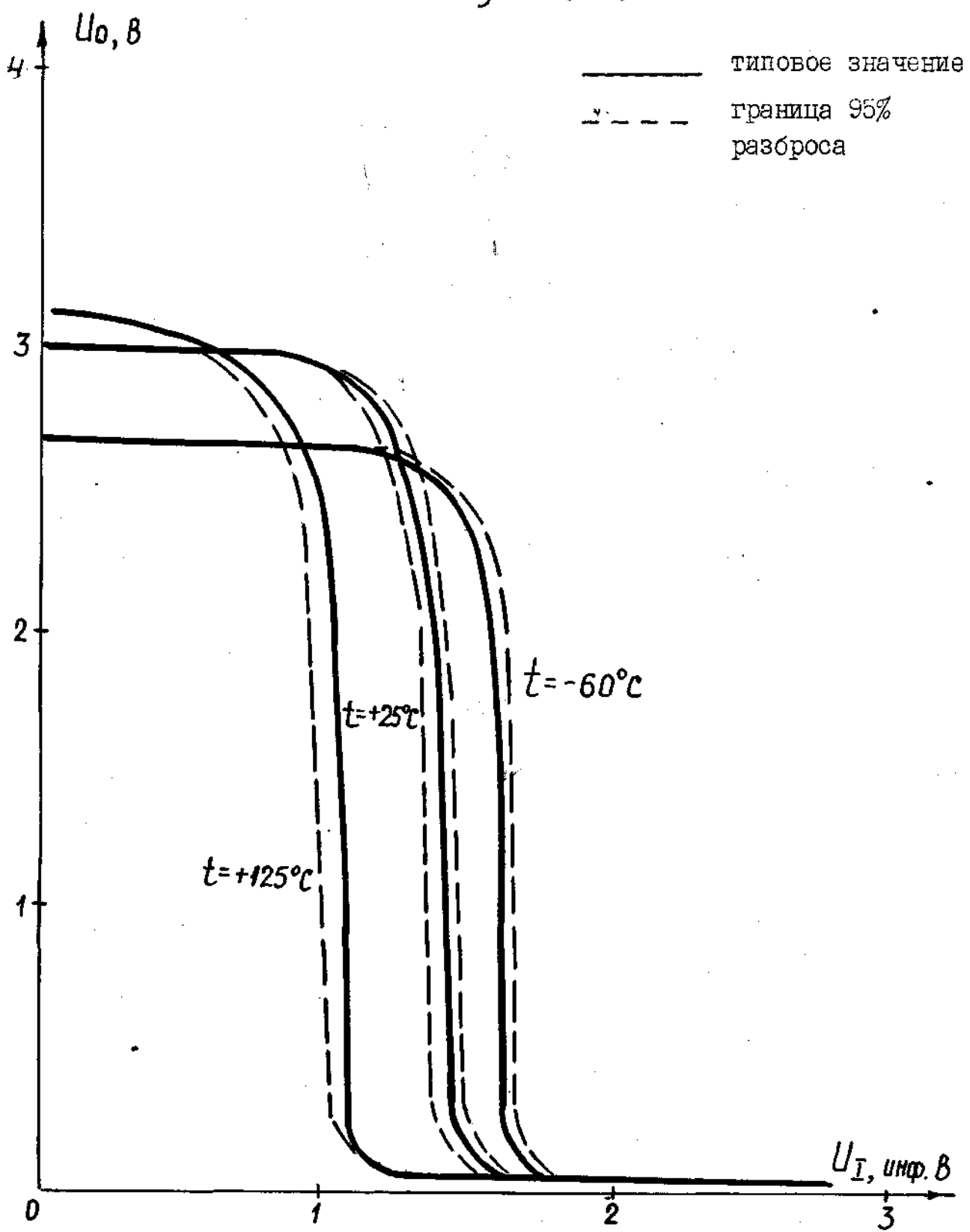


Рис. 85

График зависимости $U_o = f(U_I, \text{упр})$ при $U_{cc} = 4,5\text{В}$,
 $U_I, \text{унф} = 0,78\text{В}$, $U_{IH}, \text{унф} = 2,08\text{В}$ при подключеннем
к выходу эквиваленте нагрузки согласно рис. 58

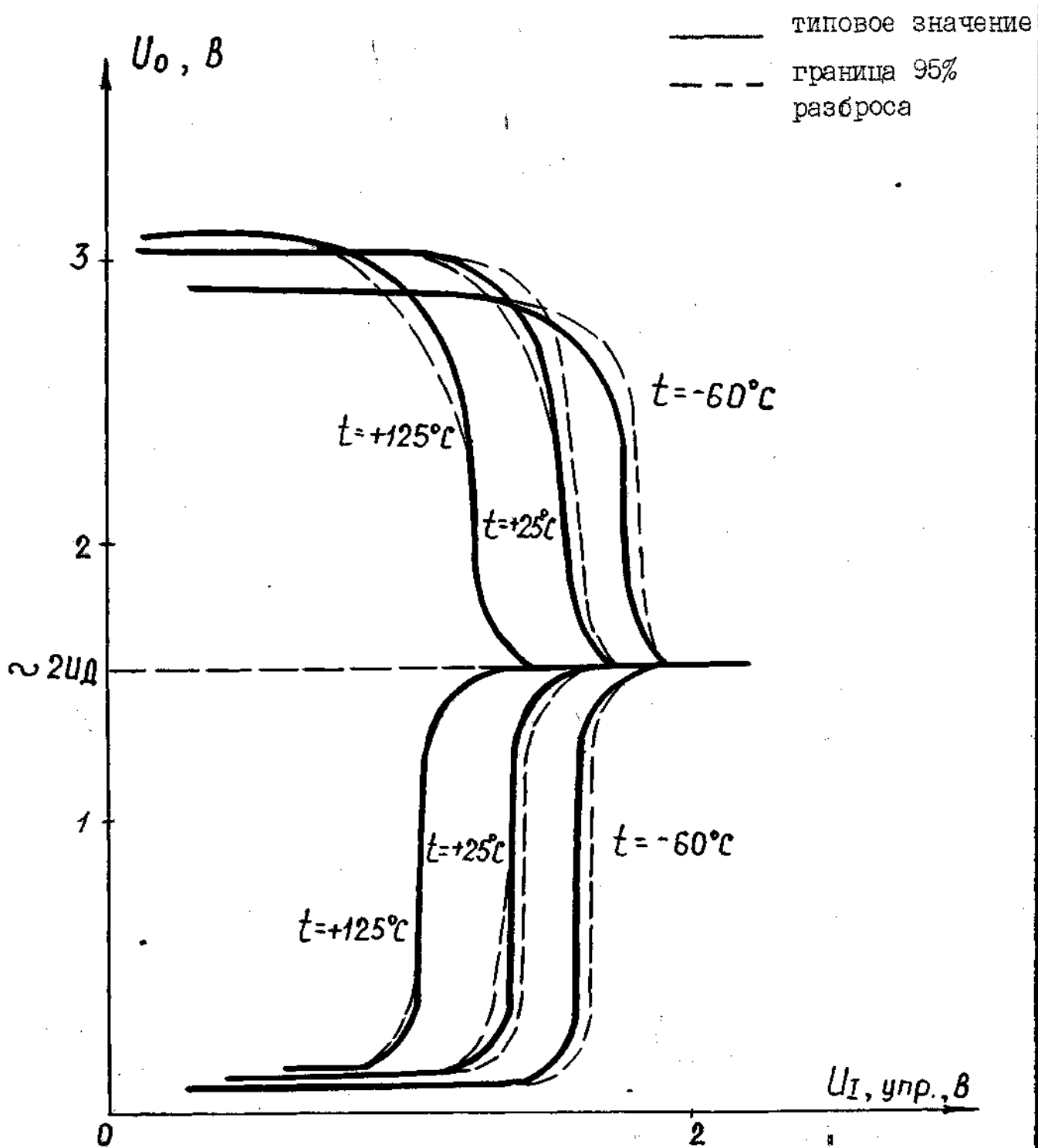


Рис. 86

График зависимости $U_o = f(U_I, \text{упр})$ при $U_{cc} = 4,5\text{В}$,
 $I_I, \text{инф} = 0,7\text{В}$ и $R_{LH} = 1,2 \text{ кОм}$

— типовое значение

- - - граница 95%

разброса

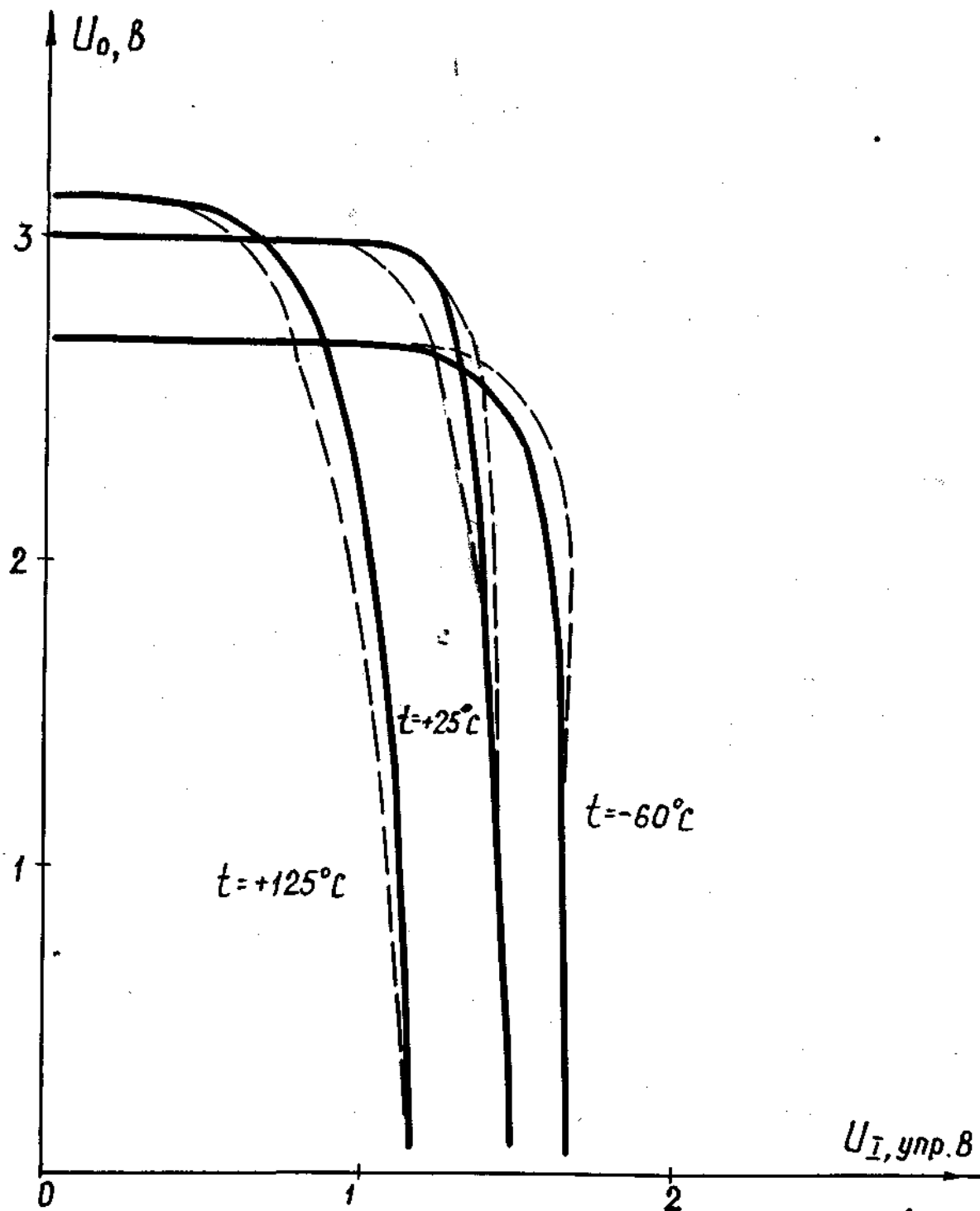


Рис. 87

График зависимости $U_o = f(U_I, \text{упр})$ при $U_{ce} = 4,5\text{В}$,
 $U_I, \text{упр} = 2,0\text{В}$ и $R_{LL} = 210 \Omega$

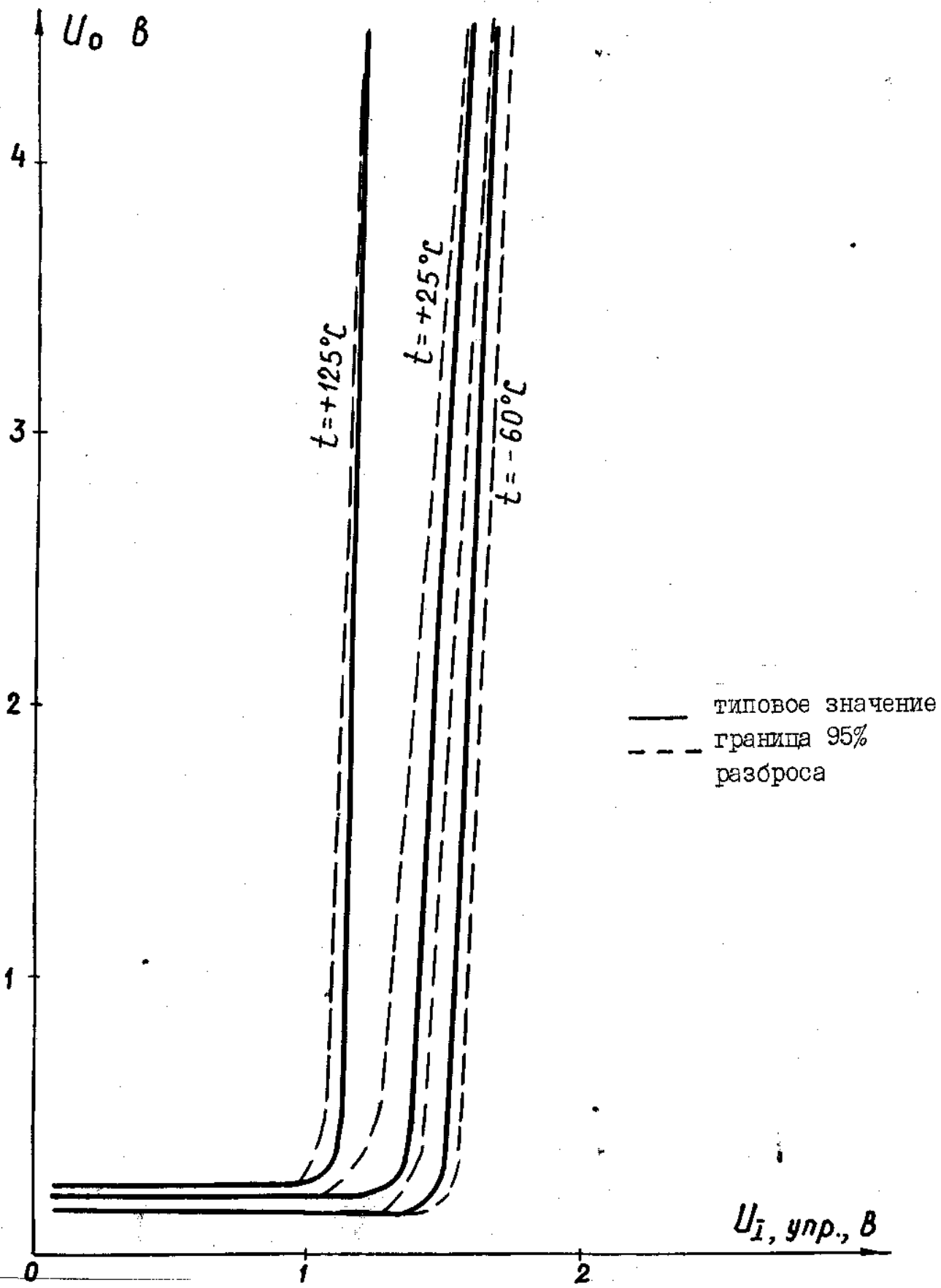


Рис. 88

График зависимости $I_I = f(U_I)$ при $U_{CC} = 5,5V$

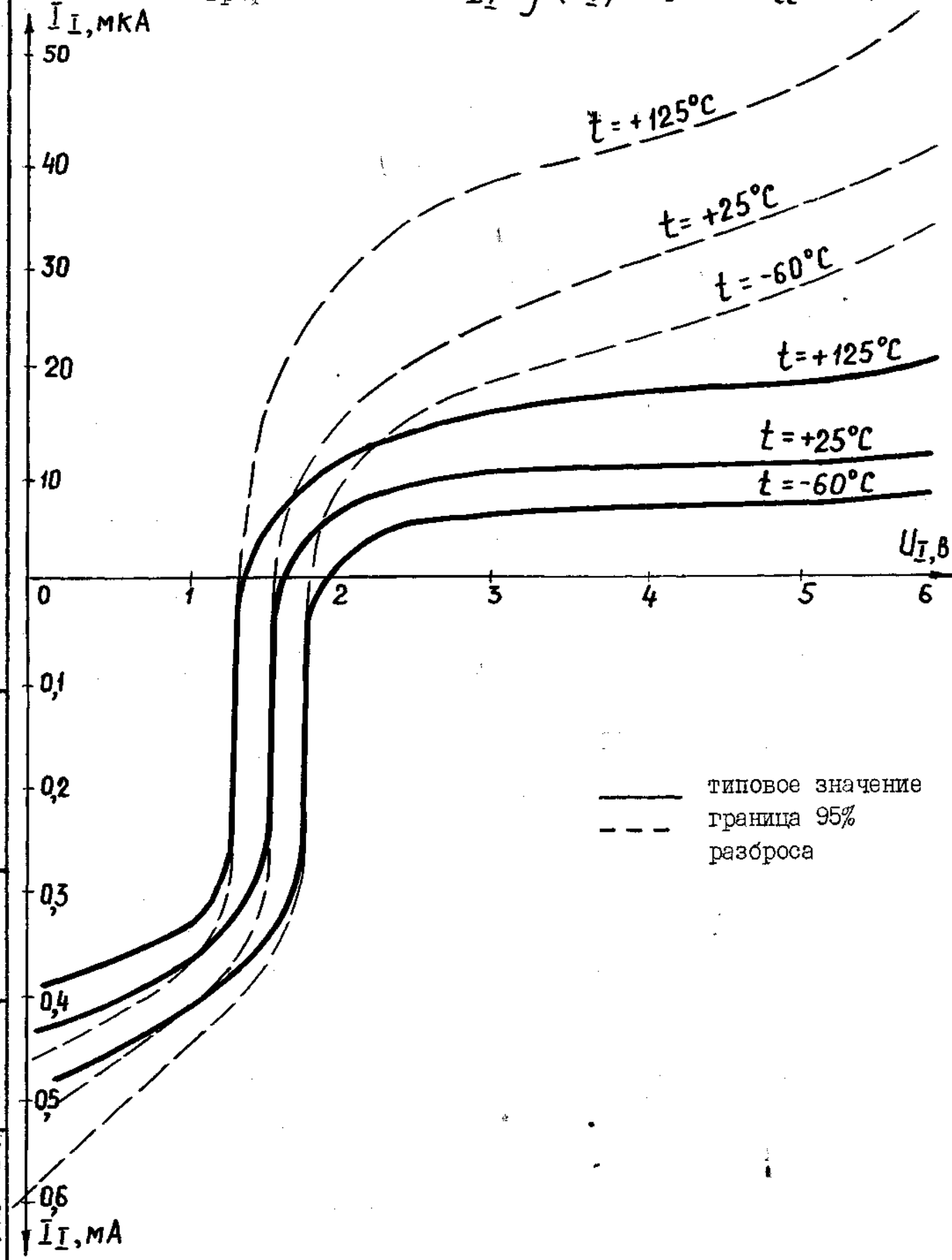


Рис. 89

График зависимости $P_{CCAV} = f(F_{пер})$ для микросхемы 57ИХЛ
при $U_{CC} = 5,5V$, $U_I = 3V$ и $Q = 2$

$P_{CCAV}, T_4 = 100 \text{ мВт}$

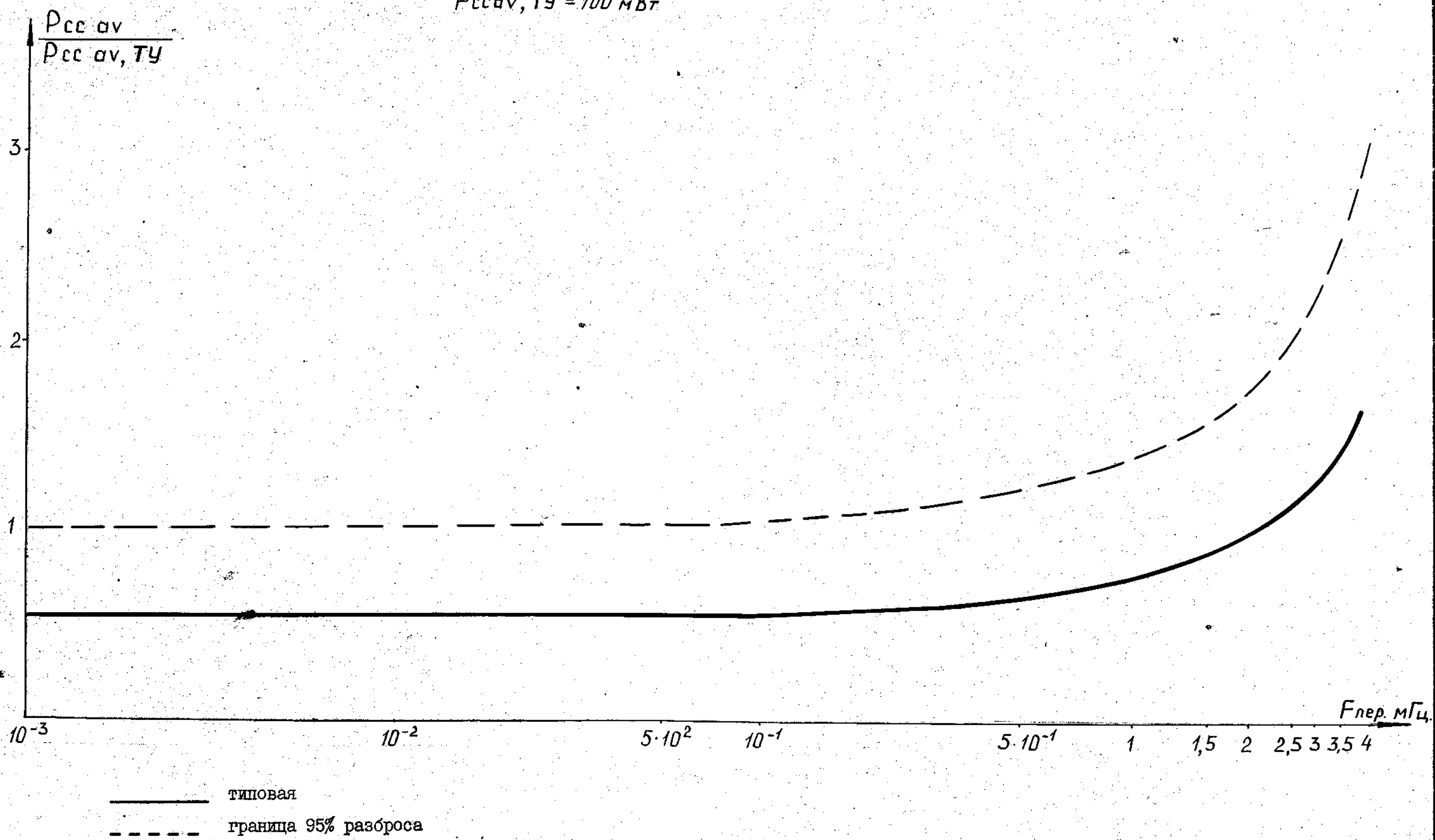


Рис. 90

График зависимости $P_{CCAV} = f(F_{неп})$ для микросхем 57ИХЛ2
при $U_{CC} = 5,5\text{В}$, $U_I = 3,0\text{В}$ и $Q = 2$. $P_{CCAV, T_4} = 80 \text{ мВт}$

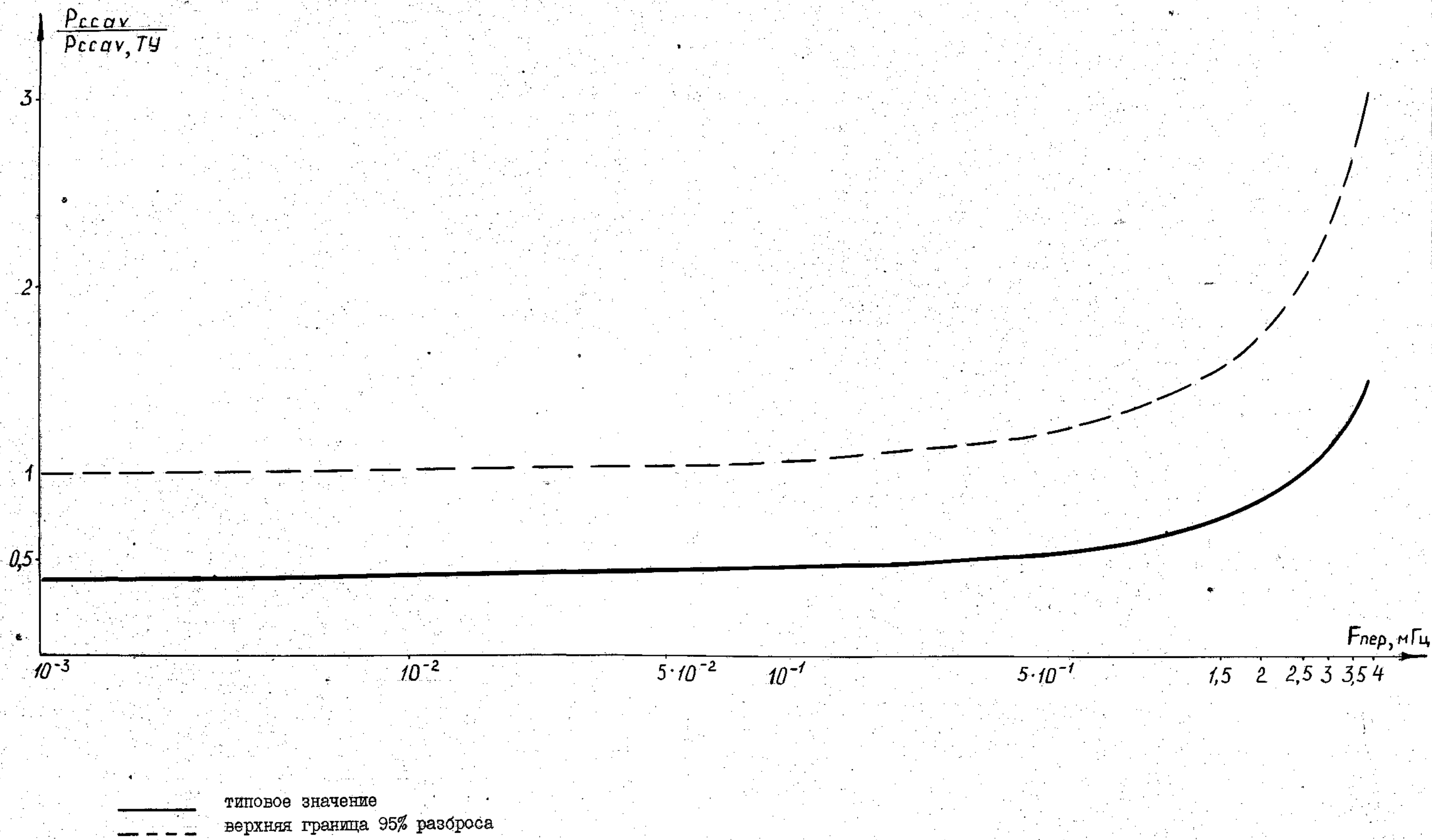


Рис. 91

График зависимости $U_{CDI} = f(I_D)$

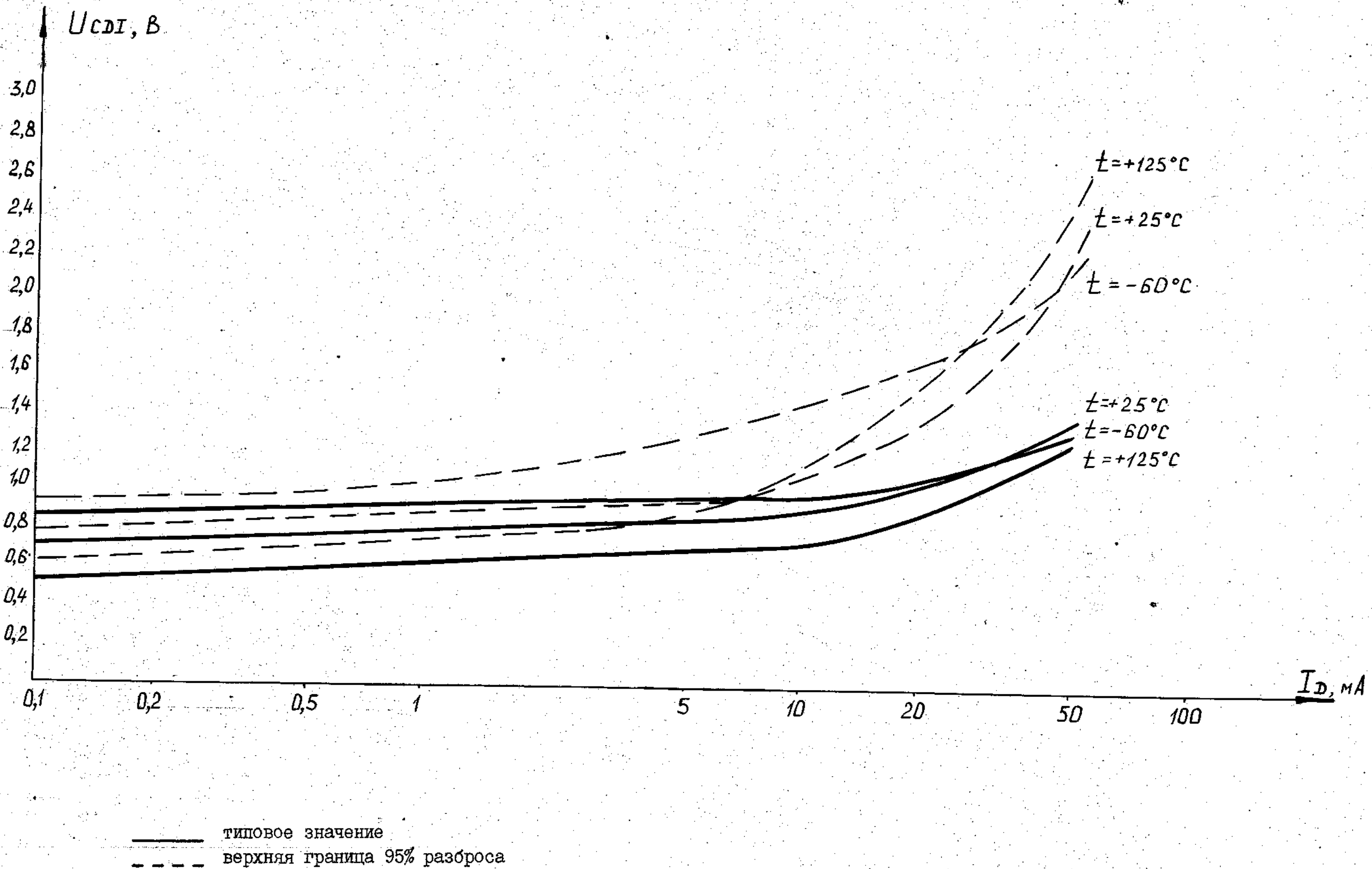


Рис. 92

График зависимости $U_{CDI} = f(\bar{I}_D)$. Длительность импульсов не более 10 мкс, скважность импульсов не менее 10

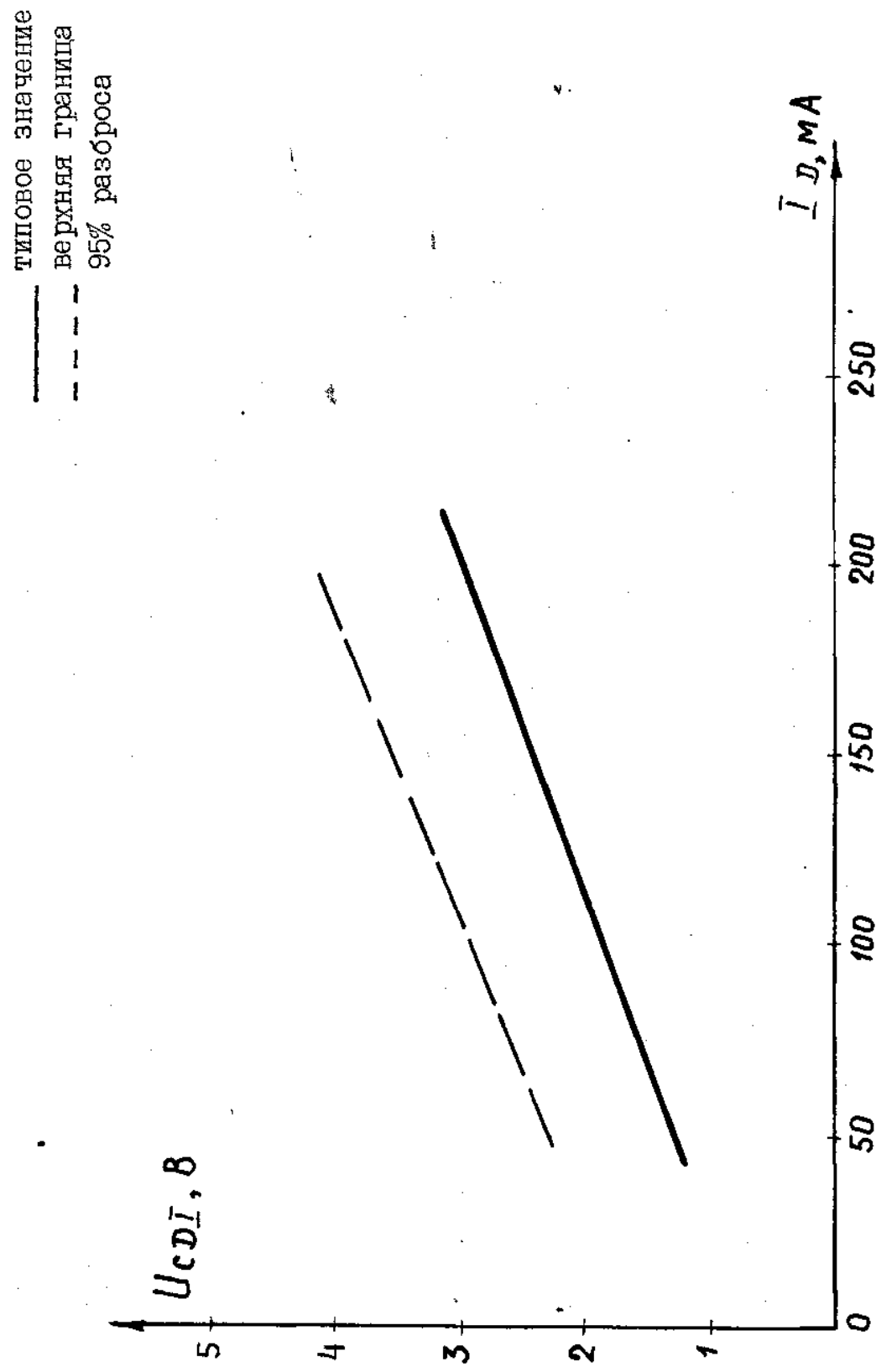


Рис. 93

График зависимости $t_{РЛ} = f(L_L)$ и $t_{РН} = f(L_H)$ при подключении к выходу микросхемы эквивалента нагрузки согласно рис. 103

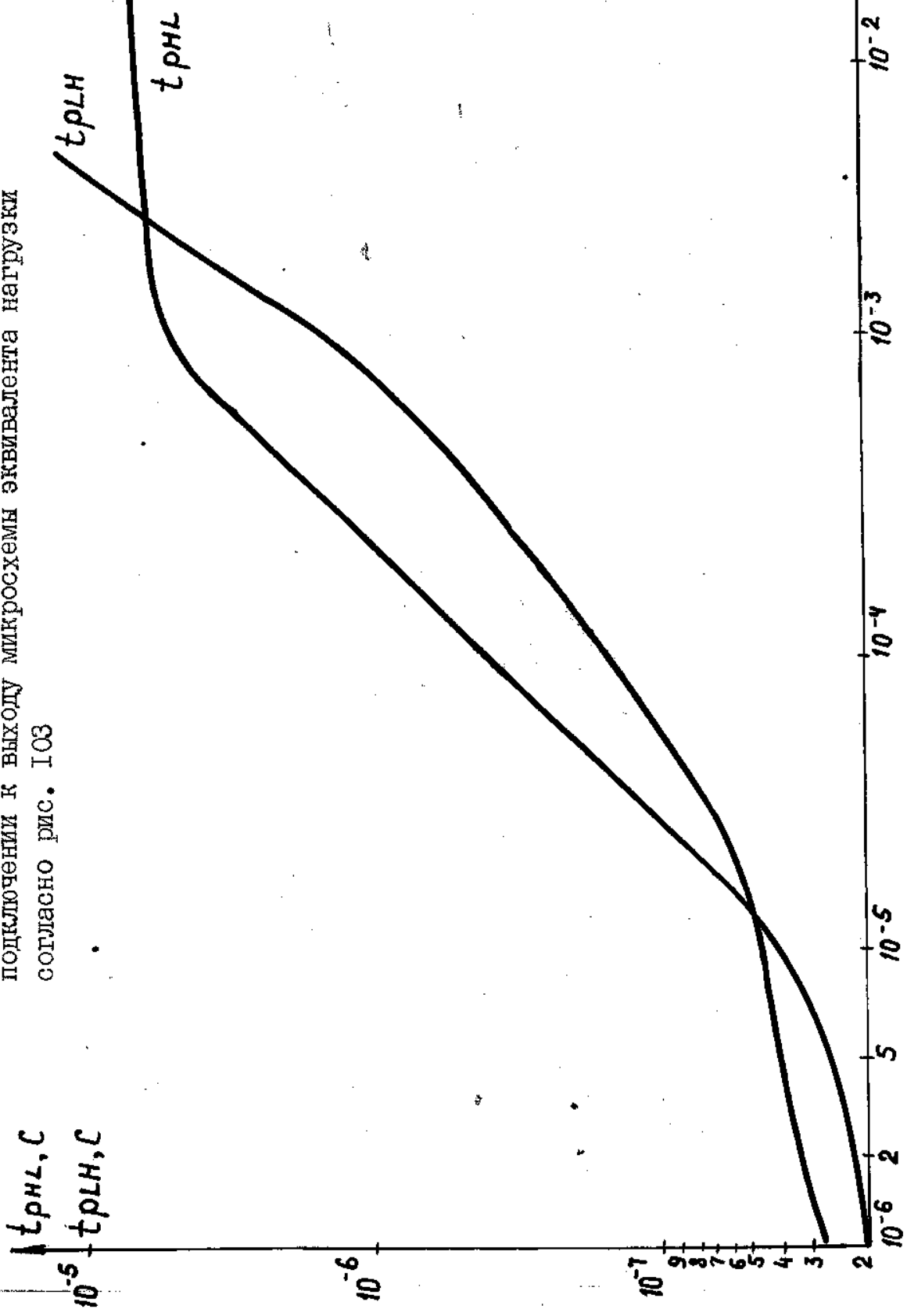


Рис. 94

График зависимости $t_{PLZ} = f(L_L)$ и $t_{PLZ} = f(L_L)$ при подключении к выходу микросхемы эквивалента нагрузки согласно рис. 103

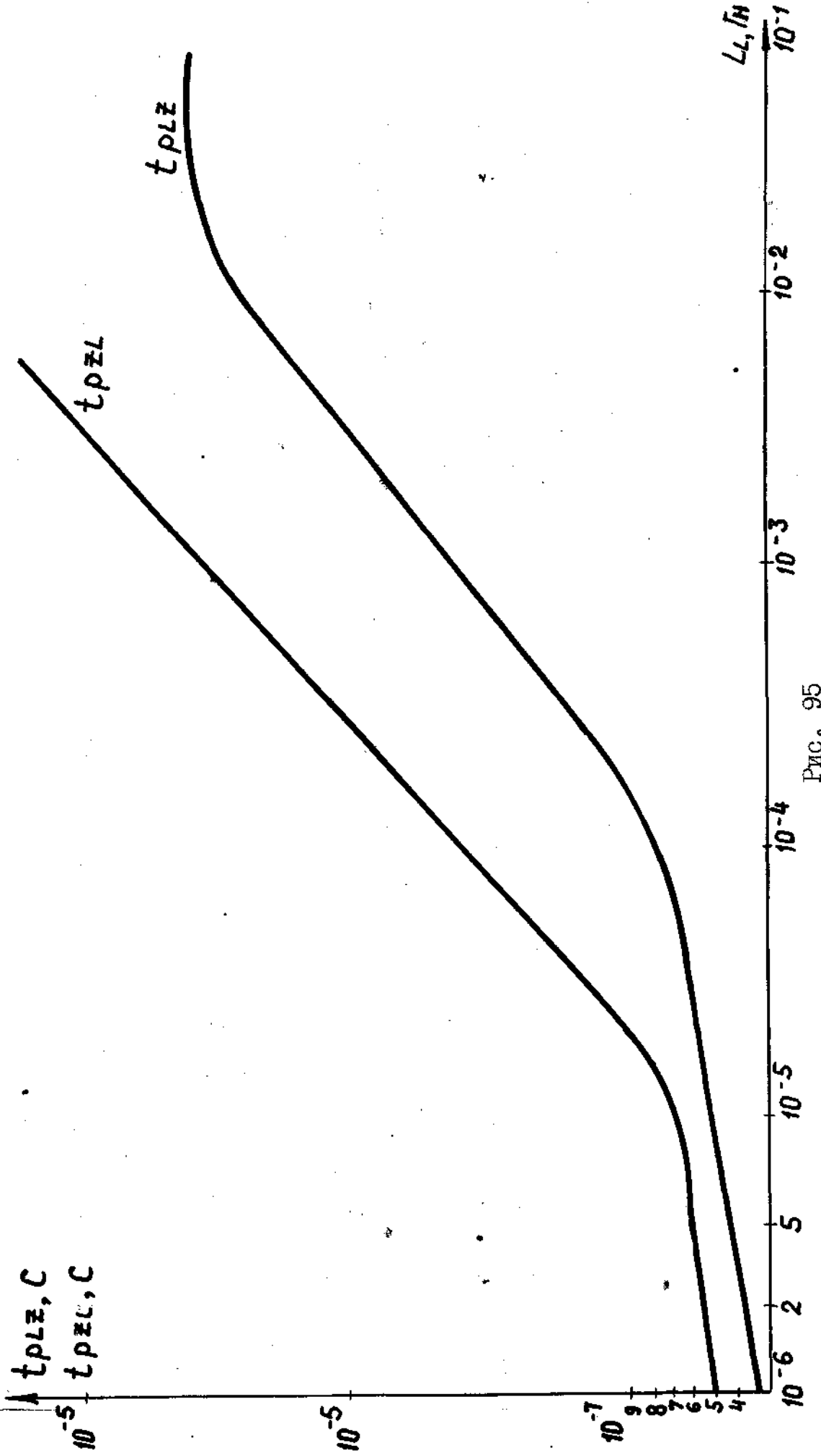


Рис. 95

График зависимости $t_{\rho \Sigma H} = f(L_L)$ и $t_{\rho \Sigma H} = f(L_H)$ при подключении к выходу эквивалента нагрузки согласно рис. 103

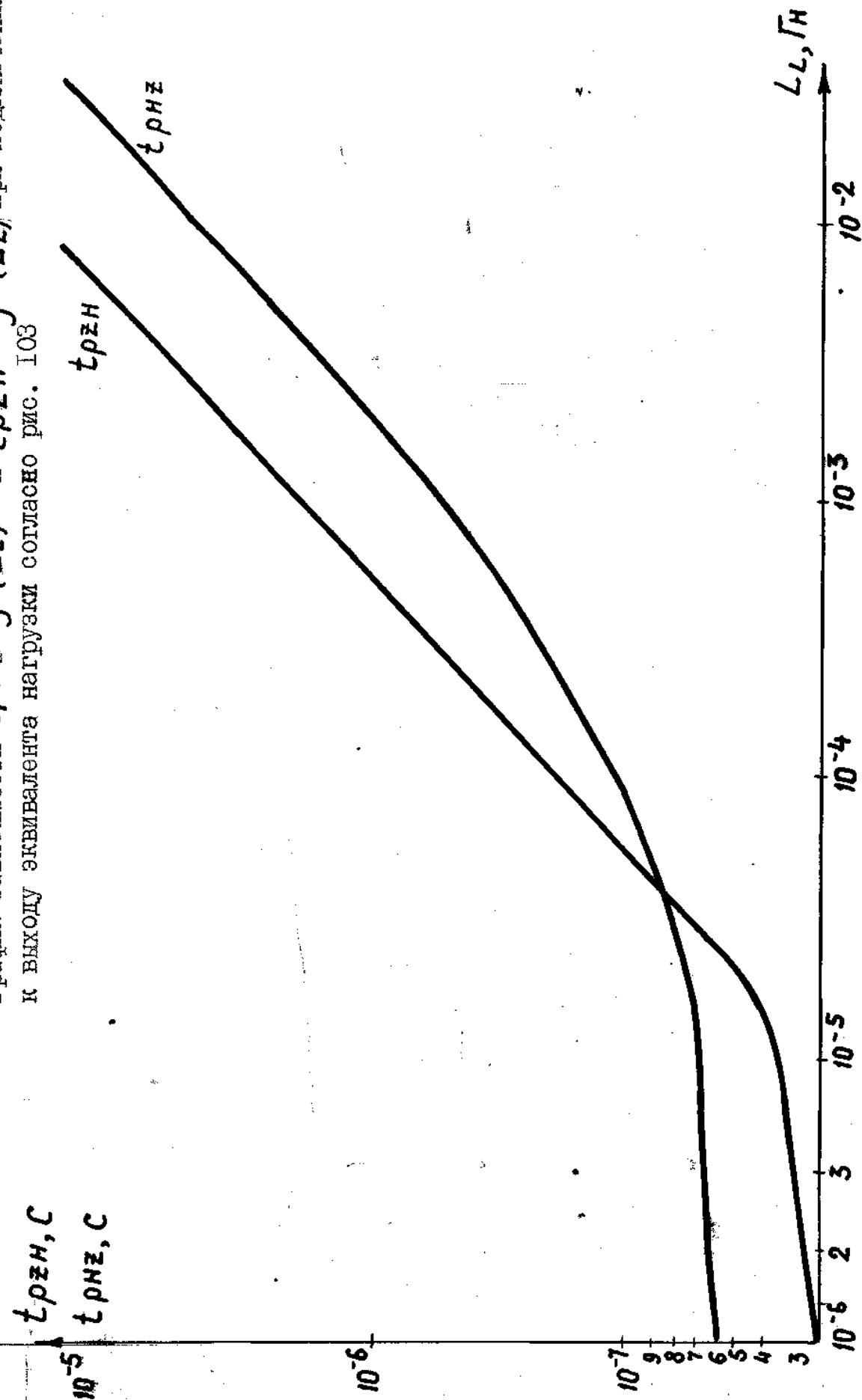


Рис. 96

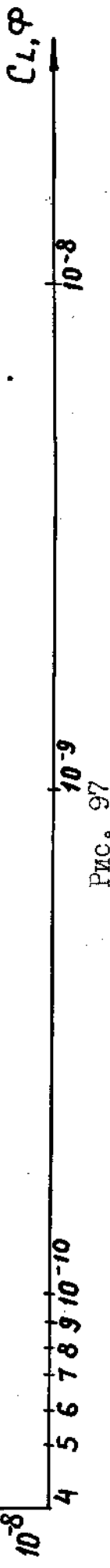


Рис. 97

График зависимости $t_{PNL} = f(C_L)$ и $t_{PLH} = f(C_L)$
при подключении к выходу микросхемы эквивалента нагрузки
согласно рис. 103

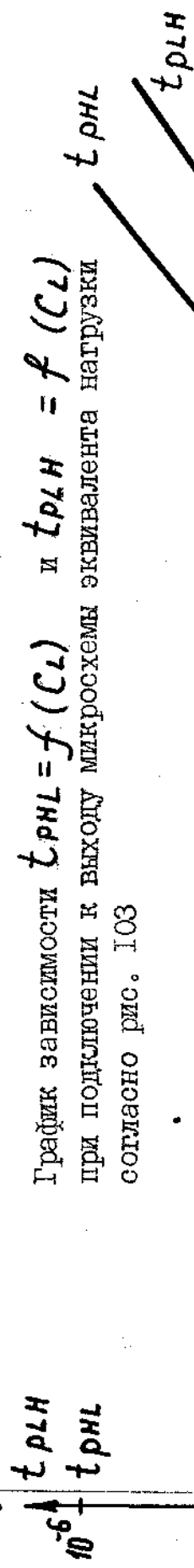


График зависимости $t_{pzL} = f(C_L)$ и $t_{pzL} = f(C_L)$ при подключении к выходу микросхемы эквивалента нагрузки согласно рис.1.03

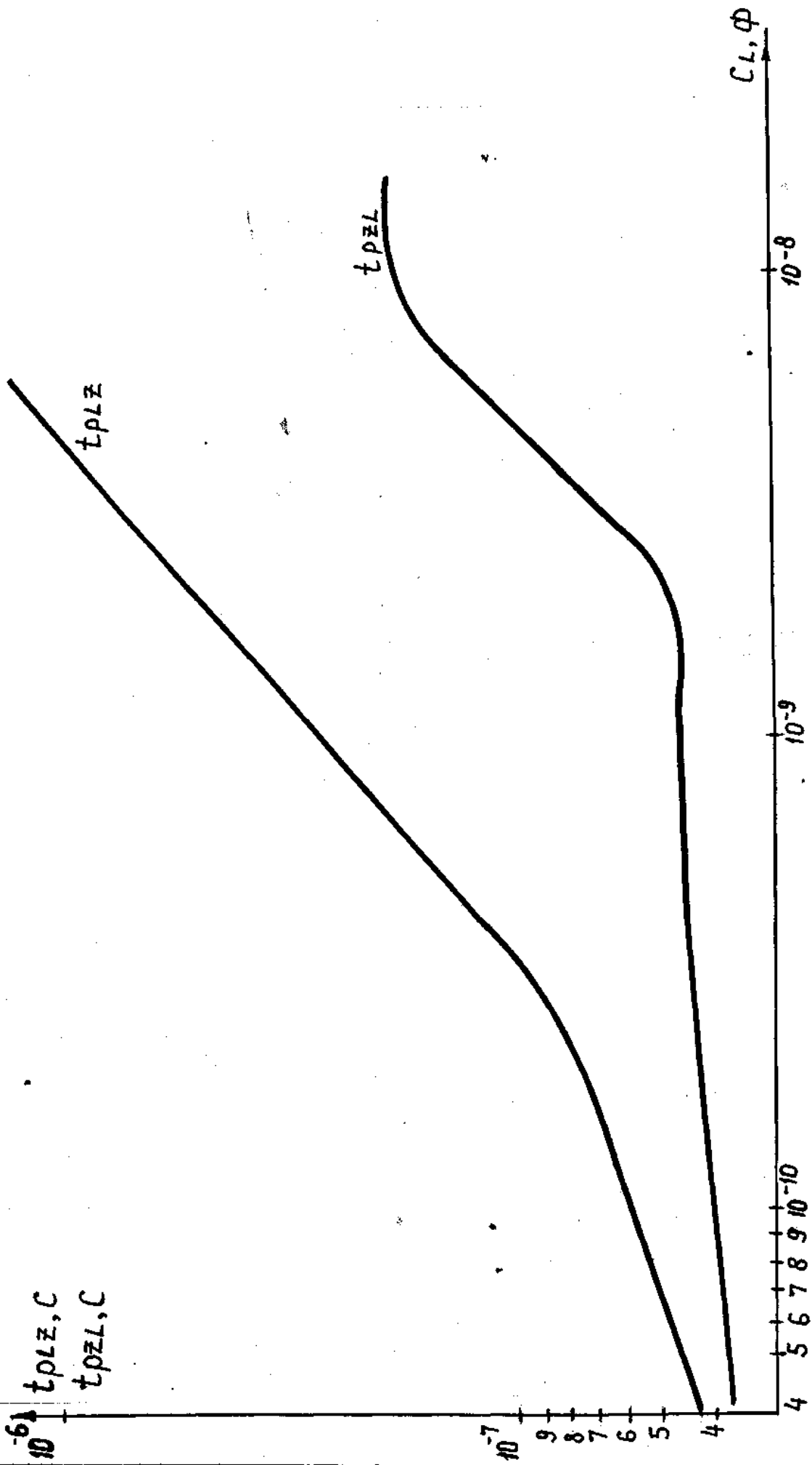


График зависимости $t_{\rho zH} = f(C_1)$ и $t_{\rho zH} = f(C_H)$ при

подключении к выходу микросхемы эквивалента нагрузки согласно рис. 103

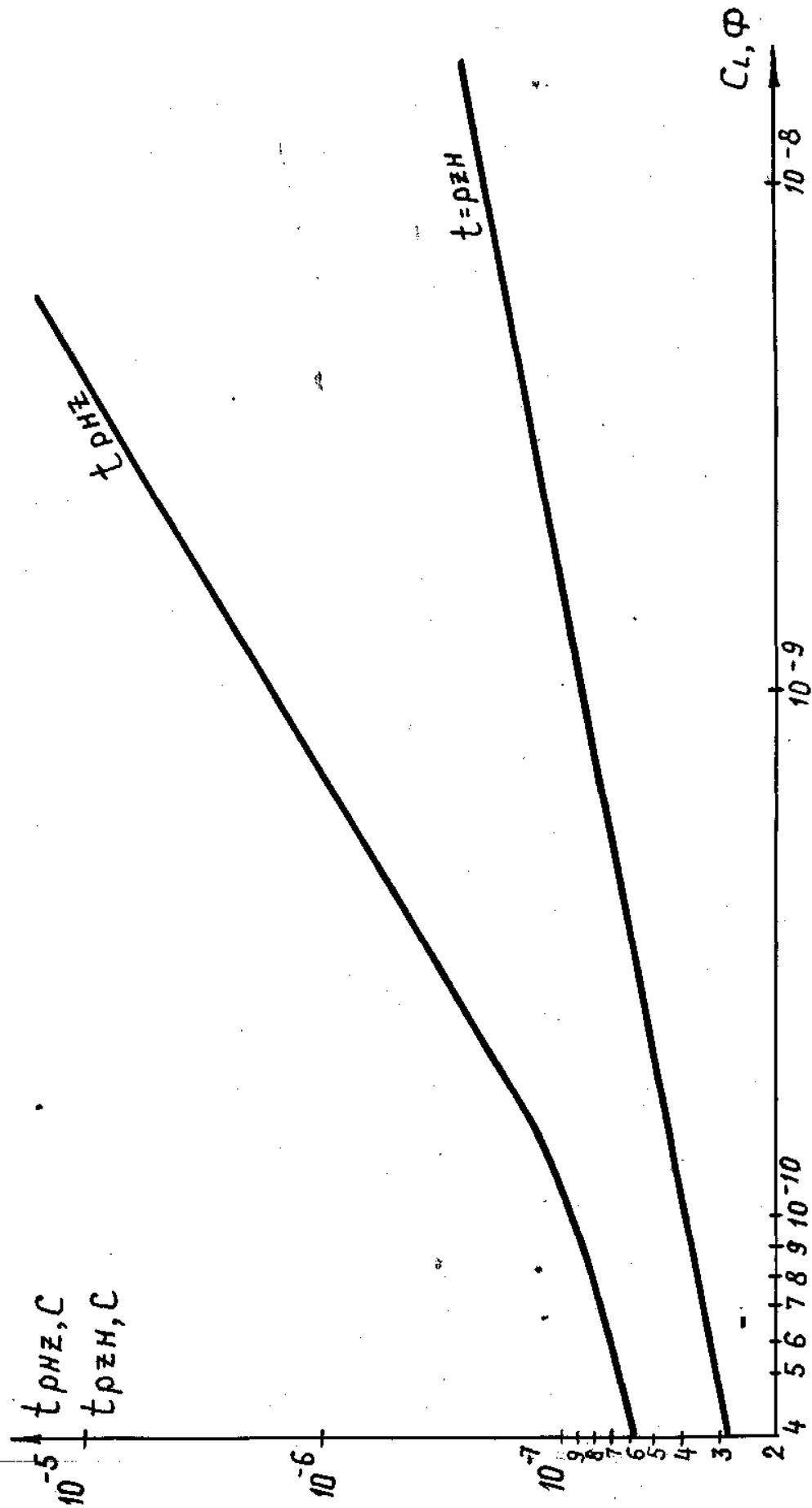
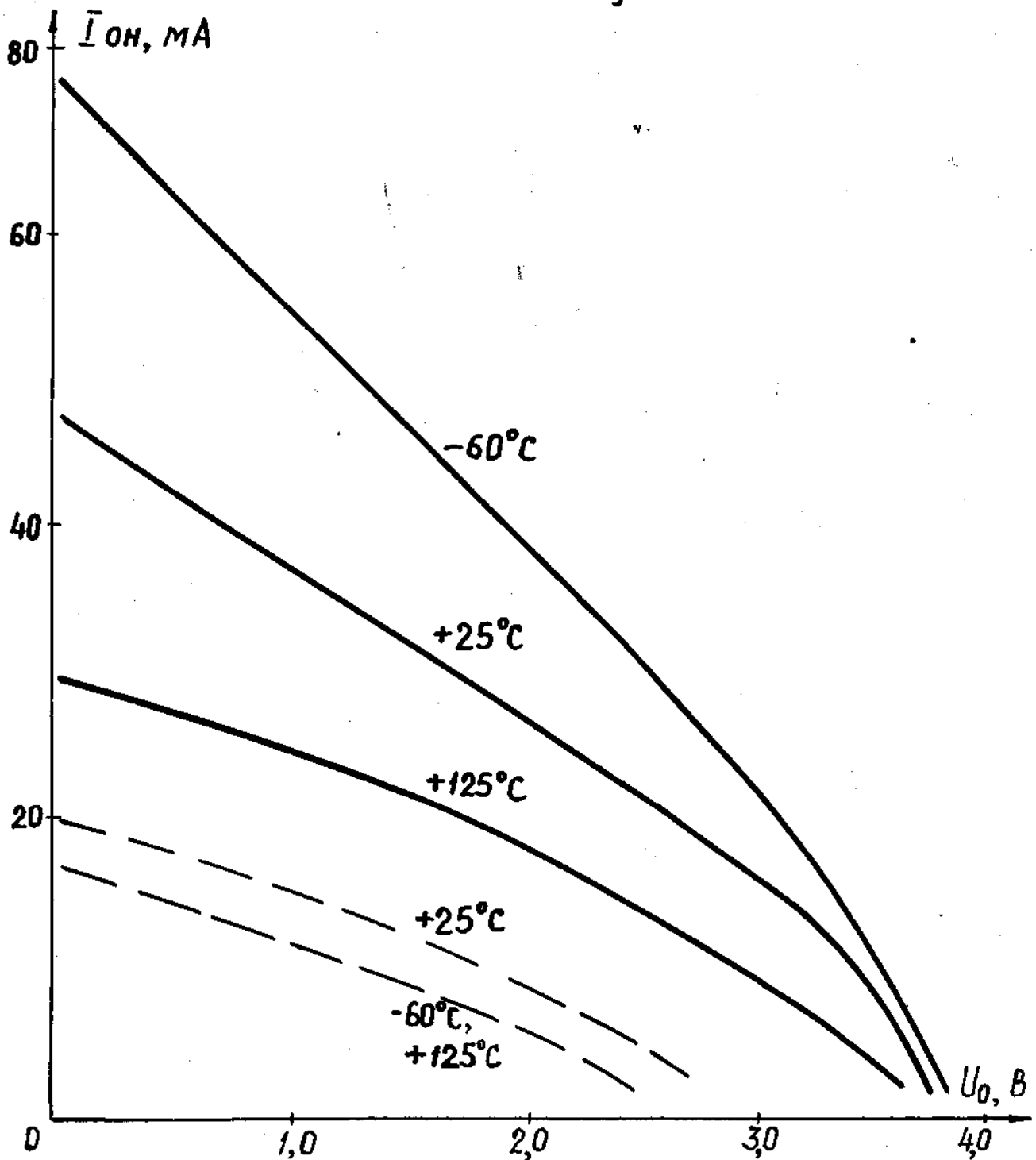


Рис. 99

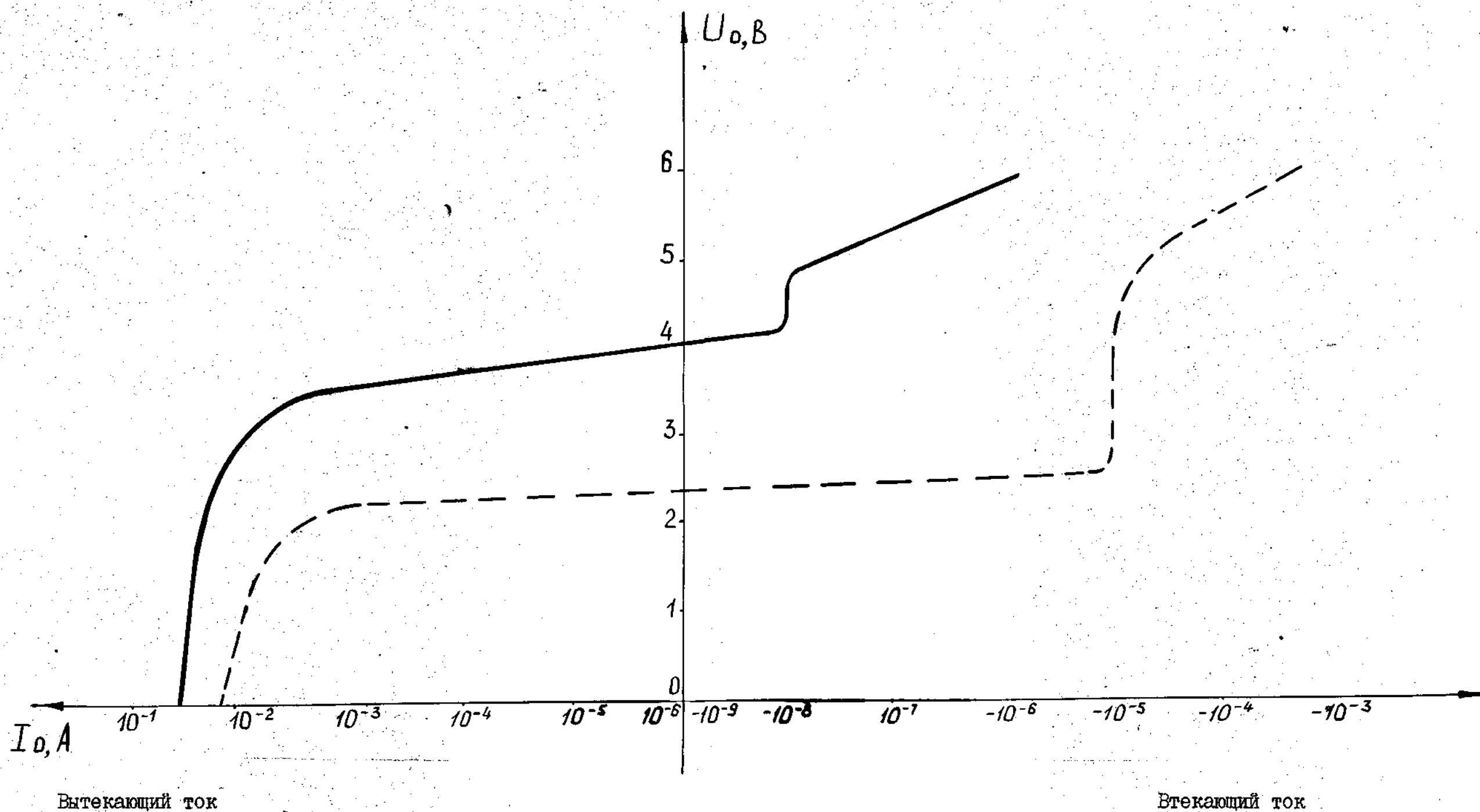
График зависимости $I_{ON} = f(U_0)$



- верхняя граница 95% разброса, $t = -60^\circ\text{C}$, $U_{CC} = 5,5\text{ В}$,
- $U_{I,yup} = 0,4\text{ В}$
- нижняя граница 95% разброса, $t = +125^\circ\text{C}$, $U_{CC} = 4,5\text{ В}$,
- $U_{I,yup} = 0,4\text{ В}$
- типовое значение, $t = +25^\circ\text{C}$, $U_{CC} = 5,5\text{ В}$, $U_{I,yup} = 0,4\text{ В}$

Рис. 100

График зависимости $I_o = f(U_o)$ в случае реализации состояния
"Высокий уровень" $U_{cc} = 5,5$ В, $U_{I\text{ упр}} = 0,4$ В



Вытекающий ток

Втекающий ток

Рис. 101

типовое значение

верхняя граница 95% разброса

График зависимости $I_0=f(U_0)$, в случае реализации на выходе состояния "Выключено" $U_{CC} = 5,5\text{В}$, $U_{I, \text{упр}} = 2,4\text{В}$

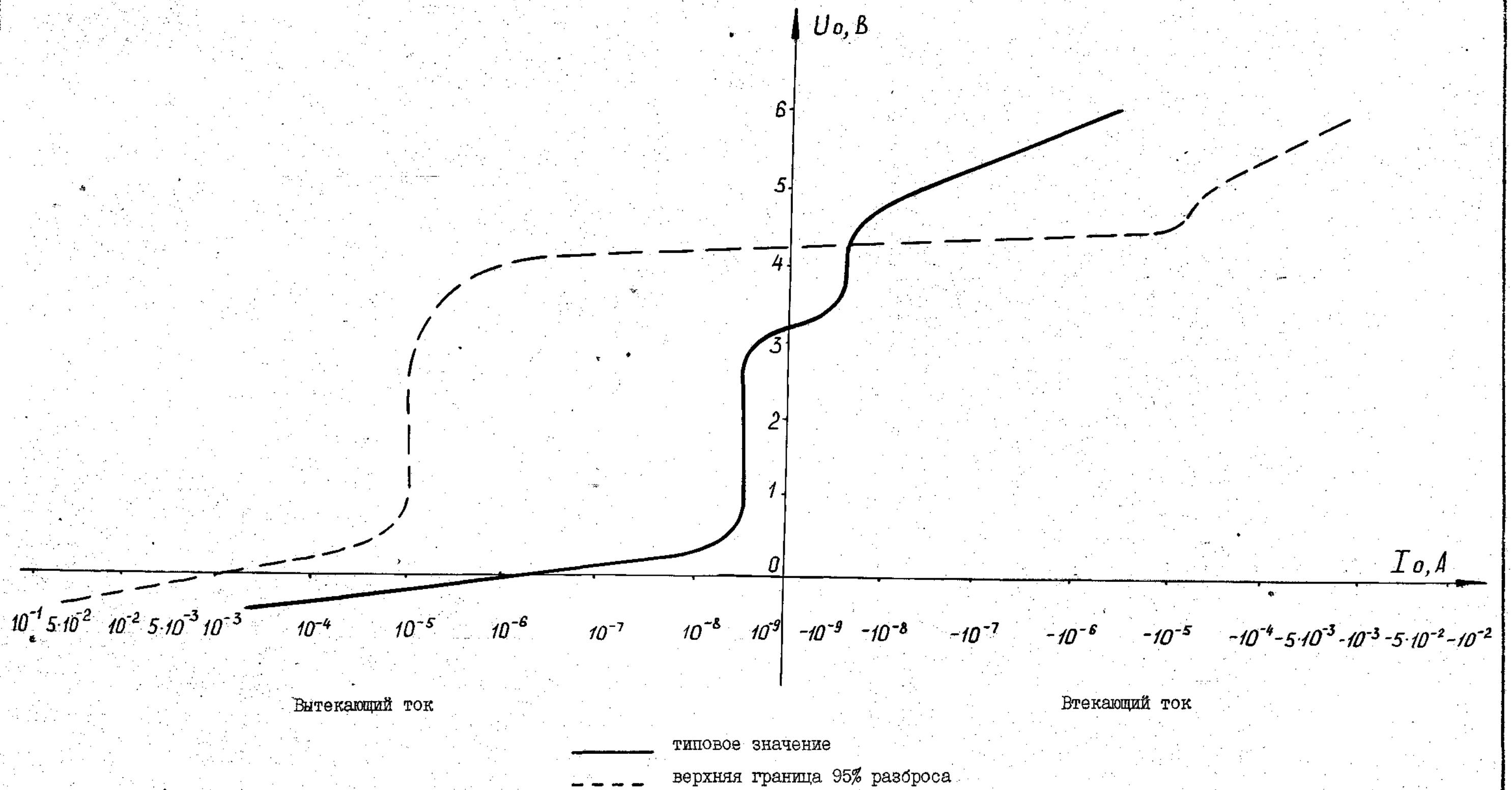


Рис. I02